

Influencia de la espinela de aluminio y magnesio en el comportamiento frente a la corrosión de hormigones refractarios de bajo contenido en cemento

BERTHA ALICIA VÁZQUEZ MÉNDEZ

Facultad de Ciencia Químicas de la Universidad Autónoma Nuevo León México, San Nicolás de los Garza Nuevo León-México

Actualmente el mayor consumo de los materiales refractarios se centra en la Industria Siderúrgica, que ocupa el primer lugar a nivel mundial con un rango que oscila entre el 58 y el 76%. Entre estos materiales los hormigones refractarios llegan a ocupar hasta un 60% de la producción mundial. El reciente desarrollo de materiales de alúmina-espínula para el revestimiento de cucharas de acería en áreas de contacto con escorias y acero fundido ha permitido la obtención de aceros de alta calidad y pureza y un significativo alargamiento de la vida en uso del revestimiento. Este mejor comportamiento frente a la corrosión se relaciona con una menor penetración de la escoria y del material fundido a través del refractario y con la baja solubilidad de la espínula en escorias de silicatos cárnicos. Entre los diversos factores que individualmente y en conjunto condicionan la vida de un material refractario, la compatibilidad química de éste con la escoria, a igualdad de factores estructurales y operacionales, es la que condiciona la vida de estos materiales. En cuanto a la legislación relativa a la protección ambiental, cada vez se exige, con más énfasis, una minimización en la generación de residuos, dentro de un marco técnicamente posible y económicamente rentable.

Los estudios termodinámicos, dirigidos al conocimiento de los diagramas de equilibrio de fases, permiten hacer una evaluación previa del comportamiento de un material en contacto con un fundido. En concreto, en el caso de los materiales de alto contenido en alúmina con adiciones de espínula, o de los materiales formulados únicamente con espínula, se puede prever su comportamiento frente a la corrosión por escorias de silicatos cárnicos fundidos, utilizando el diagrama de equilibrio cuaternario $\text{Al}_2\text{O}_3\text{-CaO-MgO-SiO}_2$.

La presente tesis, ha dirigido su atención al estudio experimental del diagrama mencionado y más específicamente de los volúmenes primarios de cristalización de la alúmina y de la espínula de aluminio y magnesio. Posteriormente se ha establecido el comportamiento frente a la corrosión de los materiales refractarios de alúmina, hexaluminato de calcio, espínula y espínula-alúmina frente a una escoria de acería. Con este fin se ha seleccionado el método de reacción ya que permite obtener información sobre factores tales como: el mojado del fundido al material refractario y la velocidad de difusión de los diferentes elementos a través de la capa de reacción.



Effect of spinel (MgAl_2O_4) on the corrosion behaviour of low cement refractory castables

Today's major consumption of refractory materials in the world is driven by the sector of metallurgy, being the first purchaser with a share ranging from 58 to 76% of the total consumption. More precisely, refractory concretes constitute the 60 % of refractory materials. Recent developments on alumina/spinel based materials such as ladle lining, which are in contact with molten alloys and slag, allowed obtaining high quality steels while significantly prolonging the lining life.

This dramatic improvement against corrosion is related to two factors: A lower penetration of slag and molten metal in the refractory lining and a low solubility of spinel in calcium silicates and slag.

Among the various factors, which on their own and collectively determine the life span of a refractory material, the chemical compatibility with the slag is the most important provided that the rest of structural and operational factors are standard. Concerning environmental regulations there is an increasing urgency towards a minimisation of waste without endangering the technical and economical viability of the industry

Thermodynamic studies of the phase equilibrium diagrams allow a pre-evaluation of the behaviour of a material that is exposed to a corrosive melt. Particularly, in high alumina content materials either solely or with spinel additions, it is possible to forecast their behaviour when in contact with clinker of calcium silicates, by close inspection of the $\text{Al}_2\text{O}_3\text{-CaO-MgO-SiO}_2$ quaternary phase diagram

This thesis has been focused to the above mentioned quaternary phase diagram and the goal of their experimental work has been to establish the chemical behaviour of materials based on spinel and spinel/alumina in contact with steel slag.

To obtain information about other factors such as wetting of refractory material and diffusion speed of various elements through the reaction interface the reaction method has been used.

Dña. Bertha Alicia Vázquez Méndez, Doctor en Ciencias Químicas por la Universidad Autónoma de Madrid, defendió la Tesis titulada:

"Influencia de la Espinela de Aluminio y Magnesio en el comportamiento frente a la corrosión de hormigones refractarios de bajo contenido en cemento" el día 14 de julio de 2004 en el Salón de Actos del Instituto de Cerámica y Vidrio en el Campus de la Universidad Autónoma de Madrid. La calificación concedida fue de "Sobresaliente Cum Laude" por unanimidad del Tribunal, que estuvo compuesto por: Dr. Vicente Fernández Herrero (Presidente), Dr. David Tudela Moreno (Secretario), Dr. Salvador de Aza

Pendás (Vocal), Dr. Alejandro Ureña Fernandez (Vocal) y Dr. Juan Francisco Almagro Bello (Vocal). El trabajo de investigación de la Tesis se desarrolló en el Instituto de Cerámica y Vidrio (ICV/CSIC), dentro del Departamento de Cerámica, bajo la dirección de los Drs. M^a del Pilar Pena Castro y Ángel Caballero Cuesta. Actualmente la Dra. Bertha Alicia Vázquez Méndez prosigue sus investigaciones en la Facultad de Ciencia Químicas de la Universidad Autónoma Nuevo León México dentro del Área de Materiales.



VI CONGRESO NACIONAL DE METALURGIA Y CC DE LOS MATERIALES

«DESARROLLO SOSTENIBLE EN EL SIGLO XXI, UN RETO PARA LA CIENCIA Y TECNOLOGÍA EN BOLIBIA»

DEL, 24 AL 27 DE NOVIEMBRE 2004-10-15
COCHABAMBA. BOLIVIA

PRESENTACIÓN

El precedente de este congreso hay que buscarlo en los primeros congresos de Metalurgia, organizados por la Universidad Técnica de Oruro hasta llegar al V Congreso que fue realizado por la Universidad Mayor de San Andrés en la Paz el año 2002.

Continuando con la periodicidad bianual de congresos nacionales realizados hasta la fecha, la UNIVERSIDAD MAYOR DE SAN SIMÓN, tiene el privilegio y responsabilidad de organizar el "VI CONGRESO NACIONAL DE METALURGIA Y CIENCIA DE LOS MATERIALES", con el apoyo de la Universidad Técnica de Oruro (UTO), Universidad Mayor de San Andres de la Paz (UMSA), Universidad Autónoma Tomás Frías de Potosí (UATF) y la Universidad de Siglo XX ((UNSXX).

El centro de Investigaciones y Tecnología de los Materiales (CITEMA), dependiente del departamento de Química de la Facultad de Ciencias y Tecnología de la UMSS, ha asumido la responsabilidad directa de conducir este importante evento.

Bajo el lema "Desarrollo sostenible en el siglo XXI, un reto para la Ciencia y Tecnología de Bolivia", este congreso pretende reunir a los investigadores de Universidades, Centros Tecnológicos, Ingenieros, Consultores técnicos, y otro profesionales de empresas públicas y privadas interesados en las temáticas a las que

se ha dotado de un carácter abierto y multidisciplinario, con el objeto de servir como un punto de encuentro, contacto, oportunidad de negocio e intercambio de ideas, conocimiento y experiencias.

Junto con la presentación de contribuciones que permitan valorar el estado de la investigación, los avances recientes en tecnologías y procesamiento de materiales, se podrá también aportar con soluciones, que permitan reducir el impacto ambiental asociado con la producción y la utilización masiva de recursos naturales para la obtención de nuevos materiales a través de la reutilización y reciclado de materiales. El VI Congreso Nacional de Metalurgia y Ciencia de los Materiales, se desarrollará en la ciudad de Cochabamba, del 24 al 27 de Noviembre del 2004.

OBJETIVOS

El congreso tiene como objetivos:

- Difundir y actualizar a los profesionales y público en general sobre los últimos avances Científicos y Tecnológicos en el área de Metalurgia y Materiales.
- Identificar elementos que permitan el desarrollo y avance de la Metalurgia. Ciencia y Tecnología de los Materiales en la perspectiva de contribuir a superar las necesidades regionales y nacionales.
- Generar un espacio de discusión con soluciones para el análisis de aprovechamiento de nuestros recursos naturales (gas, petróleo,

minerales metálicos, y no metálicos), en la perspectiva de un desarrollo humano sostenible para nuestro país.

TEMÁTICAS

Area Metalurgia

- Procesamiento y beneficio de minerales metálicos y no metálicos.
- Hidrometalurgia
- Pirometalurgia
- Electrometalurgia
- Siderurgia y Fundición

Area Ciencia y Tecnología de los Materiales

- Materiales Cerámicos y vidrios. (Síntesis, Procesamiento y reciclado)
- Materiales Poliméricos
- Materiales Metálicos
- Corrosión y Protección
- Tribología
- Materiales Compuestos
- Semiconductores
- Materiales de Construcción
- Cuero
- Madera

Area Medio Ambiente

- Recuperación de metales y minerales a partir de residuos
- Monitoreo y Mitigación Ambiental.
- Tratamiento de Aguas Acidas
- Recuperación de suelos
- Estudios Ambientales
- Procesos de descontaminación

INFORMACIÓN Y CONSULTAS

Departamento de Química de la Fac. de Ds. Y Tecnología
Universidad Mayor de San Simón
Calle final Jordan. Campus Universitario
Tel-Fax (591)4231765 (interno 328)
Lic. Edwin Escalera Mejía Cel: 72715878
e-mail: cmetmat2004@fcyt.umss.edu.bo
e-mail: o.arzabel@umss.edu.bo
<http://cmetmat2004.fcyt.umss.edu.bo>



XLIV

CONGRESO

Sociedad Española de Cerámica y Vidrio

VIGO • 10-13 NOVIEMBRE 2004



UNIVERSIDAD DE VIGO



SOCIEDAD ESPAÑOLA DE CERÁMICA Y VIDRIO

caixanova



CIUDAD DE VIGO

ación y futuro de la industria cerámica española - Materias primas ga
ión a los nuevos productos y procesos - Nuevas tecnologías en el pro
o (laser) - Tratamientos superficiales - Procesamiento cerámico - R
ambiente - Materiales cerámicos avanzados - Restauración y conservación del
- Globalización y futuro de la industria cerámica española - Materias primas ga



XACOBEO 2004

Galicia

PROGRAMA GENERAL DEL CONGRESO DE LA SECV

MIÉRCOLES 10 DE NOVIEMBRE

16.00 - 18.00	INSCRIPCIÓN Y ENTREGA DE DOCUMENTACIÓN EN EL AUDITORIO
17.00 - 18.00	ASAMBLEA GENERAL DE LA SECV.
18.00	SESIÓN INAUGURAL DEL CONGRESO
18.30 - 20.00	CONFERENCIAS INAUGURALES
20.30 - 21.30	CÓCTEL DE RECEPCIÓN DEL AYUNTAMIENTO DE VIGO

JUEVES 11 DE NOVIEMBRE

	SALA 1	SALA 2
8.30 - 10.30	LASER	SÍNTESIS
10.30 - 11.15	SESIÓN POSTER - CAFÉ	
11.15 - 13.30	LASER	PROCESAMIENTO Y PROPIEDADES
13.30 - 15.00	COMIDA DE TRABAJO	
15.30 - 17.15	CARACTERIZACIÓN	REFRACTARIOS
17.15 - 17.30	SESIÓN POSTER - CAFÉ	
17.45 - 19.15	MESA REDONDA: MATERIAS PRIMAS	
21.00	CENA DE CLAUSURA. ENTREGA DE PREMIOS DEL XLIV CONCURSO DE FOTOGRAFÍA CIENTÍFICA Y TÉCNICA	

VIERNES, 12 DE NOVIEMBRE

	SALA 1	SALA 2
08.30 - 10.30	ELECTROCERÁMICA	INNOVACIÓN INDUSTRIAL Y MEDIO AMBIENTE
10.30 - 11.15	SESIÓN POSTER - CAFÉ	
11.15 - 13.30	RECUBRIMIENTOS	INNOVACIÓN INDUSTRIAL Y MEDIO AMBIENTE
13.30 - 15.30	COMIDA DE TRABAJO	
15.30 - 17.15	PATRIMONIO	BIOMATERIALES
17.15 - 17.30	SESIÓN POSTER - CAFÉ	
17.45 - 19.15	MESA REDONDA: MEDIO AMBIENTE	

SÁBADO, 13 DE NOVIEMBRE

VISITAS A FÁBRICA Y A SANTIAGO DE COMPOSTELA

BOLETIN DE LA SOCIEDAD ESPAÑOLA DE
Cerámica y Vidrio
N O T I C I A S

NOTICIAS

XLIV Congreso SECV

10-13 Noviembre, 2004, Vigo, España



La Sociedad Española de Cerámica y Vidrio celebrará su XLIV Congreso Anual en la ciudad de Vigo, del 10 al 13 de noviembre próximo, en colaboración con el Departamento de Física Aplicada de la E.T.S.I. Industriales de la Universidad de Vigo.

La SECV viene celebrando desde su fundación en 1960 un Congreso anual en el que se analiza la situación tecnológica del sector cerámico y las innovaciones que se aportan desde la investigación realizadas en empresas, universidades y otros organismos públicos de investigación.

PROGRAMA DEL CONGRESO

MIÉRCOLES

- 16:00-18:00 Inscripción y recogida de documentación
17:00- 18:00 Asamblea General de la SECV
18:00 Sesión inaugural
18:30- 19:15 Conferencia de Antonio Garrido
"Cerámica de Galicia".
Univ. de Santiago.
19:15- 20:00 Conferencia del Prof. Luis Liz Mazón
"Nanotecnologías"
Dpto. de Física y Química - Univ. de Vigo.
20:30 Recepción del Ayuntamiento.

JUEVES, 11 DE NOVIEMBRE. SALA 1

PROCESAMIENTO DE MATERIALES CON LÁSER I Presidentes de sesión: Prof. Betty León y Dr. Xermán de la Fuente

8:30 Conferencia invitada

WHAT HAPPENS WHEN ONE THROWS LASER LIGHT ON CERAMICS
Prof. Dr. William M. Steen, Emeritus Professor The University of Liverpool, Distinguished Research Fellow of Metallurgy and Material Science Department, Cambridge University

9:30 INFLUENCIA DE LA LONGITUD DE ONDA EN EL MECANIZADO POR LÁSER DE MUESTRAS SUPERCONDUCTORAS DE Bi-2212 CON GEOMETRÍA PLANA

A. López-Gascón¹, G.F. de la Fuente¹, L.A. Angurel¹, R. Ibáñez², V. Primo²

¹ Instituto de Ciencia de Materiales de Aragón (CSIC-Universidad de Zaragoza)

² Instituto de Ciencia de Materiales de la Universidad de Valencia

9:45

TRATAMIENTO SUPERFICIAL DE BALDOSAS DE GRES PORCELÁNICO PULIDO MEDIANTE LA TÉCNICA LÁSER
T. Todorov¹, J.M. Pedra¹, E. Cerisuelo², R. Ibáñez³, V. Primo³ y J. B. Carda¹

¹ Dep. Química Inorgànica i Orgànica, Universitat Jaume I, Castellón

² Tierra Atomizada, S.A., l'Alcora (Castellón)

³ Institut Universitari de Ciència dels Materials, Universitat de València, Paterna (Valencia)

10:00

CAPAS DE WC CON MATRIZ DE NiCrBSi TRATADAS CON LÁSER

J. C. Álvarez, J.M. Amado, E. Saavedra, M.J. Tobar, A. Yáñez Laboratorio de Aplicaciones Industriales del Láser

Departamento de Ingeniería Industrial II

Escuela Politécnica Superior

Universidade da Coruña

10:15

MICROESTRUCTURA Y PROPIEDADES MECÁNICAS

A ALTA TEMPERATURA DEL EUTÉCTICO TERNARIO

ALÚMINA-CIRCONA-YAG CRECIDO POR

SOLIDIFICACIÓN DIRECCIONAL

A.R. Pinto Gómez¹, J. Martínez Fernández¹, A. R. de Arellano López¹, A. Bravo León¹, J. I. Peña², R. Merino², V. Orera²

¹ Departamento de Física de la Materia Condensada.

Universidad de Sevilla.

² Instituto de Ciencia de Materiales de Aragón, Zaragoza.

JUEVES, 11 DE NOVIEMBRE. SALA 1

PROCESAMIENTO DE MATERIALES CON LÁSER II Presidentes de sesión: Prof. Rafael Ibáñez y Prof. Pío González

11:15

Conferencia invitada

APLICACIONES DEL LASER AL PROCESAMIENTO DE MATERIALES CERÁMICOS

J. Pou, F. Lusquiños, F. Quintero, M. Boutinguiza, R. Soto y M. Pérez-Amor

Dpto. Física Aplicada, E.T.S. Ingenieros Industriales.
Universidad de Vigo

11:45

SÍNTESIS DIRECTA POR LÁSER DE $(\text{Sr}_{1-x} \text{Eu}_x)\text{Al}_2\text{O}_4$

A. Puche, V. Primo y R. Ibáñez

Instituto de Ciencia de los Materiales de la Universidad de Valencia, ICMUV

NOTICIAS

12:00

INFLUENCIA DEL TRATAMIENTO SUPERFICIAL CON PULSOS LÁSER ULTRACORTOS EN EL DESGASTE DE ALÚMINA DE ALTA PUREZA

B. Martín, J. Y. Pastor y J. Llorca,¹ P. Moreno², C. Méndez, J. L. Campo², A. García e I. Arias
Departamento de Ciencia de Materiales ETSI Caminos, Canales y Puertos.

Universidad Politécnica de Madrid

¹ Grupo de Óptica, Departamento de Física Aplicada.

Universidad de Salamanca.

² Dpto. de Ingeniería Mecánica. Universidad de Salamanca.

12:15

APLICACIÓN DE LÁSERES DE PULSOS ULTRACORTOS EN LA PRODUCCIÓN DE NANOPARTÍCULAS CERÁMICAS

P. Moreno¹, C. Méndez, A. García, I. Arias
Grupo de Óptica, Departamento de Física Aplicada,

Universidad de Salamanca.

Plaza de la Merced s/n, 37008 Salamanca

¹ Departamento de Ingeniería Mecánica, Universidad de Salamanca.

12:30

NUEVAS TECNOLOGÍAS EN EL PROCESAMIENTO DE RECUBRIMIENTOS DE CERÁMICAS BIOACTIVAS

E. L. Solla, J. P. Borrajo, P. González, J. Serra, S. Liste, S. Chiussi, B. León, M. Pérez-Amor.

Dpto. de Física Aplicada. Universidad de Vigo.

12:45

MODIFICACIÓN SUPERFICIAL DE FÁBRICA DE LADRILLO MUDEJAR MEDIANTE ABLACIÓN LÁSER

Ruth Lahoz¹, L. C. Estepa¹, M^a Paz Marzo², Ramiro Alloza², Germán F. de la Fuente¹

¹ Instituto de Ciencia de Materiales de Aragón (C.S.I.C. - Universidad de Zaragoza)

² Escuela Taller de Restauración de Pintura Mural de Aragón

13:00-13:30

COLOQUIO: PERSPECTIVAS Y FUTURO DE NUEVAS APPLICACIONES DEL LÁSER A LA FABRICACIÓN DE CERÁMICA Y VIDRIO

JUEVES, 11 DE NOVIEMBRE. SALA 1

TECNICAS ESPECIALES DE CARACTERIZACIÓN

Presidentes de sesión: Prof. Agustín Rodríguez y Prof. José L. Oteo

15:30 - CONFERENCIA INVITADA

TÉCNICAS DE CARACTERIZACIÓN SUPERFICIAL DE MATERIALES

A. Rodríguez González-Elipe

Instituto de Ciencias de Materiales de Sevilla.

16:00

APLICACIÓN DE LA CROMATOGRAFÍA INVERSA DE GASES PARA LA CARACTERIZACIÓN DE MATERIALES DE DISTINTOS CAMPOS TECNOLÓGICOS.

J. L. Oteo, M^a. J. Sánchez, F. Rubio, R. Peña-Alonso, J. Rubio.
Dpto. de Química-Física de Superficies y Procesos. Instituto de Cerámica y Vidrio. (CSIC). Madrid

16:15

CALCITAS CON PODERES REFLECTORES DE DIFRACCIÓN DE RAYOS X ANORMALMENTE ELEVADOS

F.J. Valle-Fuentes¹, J. García-Guinea⁵, P. López-Arce², A.

Cremades³, J. Piqueras³, V. Correcher⁴

S. Sanchez-Moral¹, R. Gonzalez-Martin¹

¹ Instituto de Cerámica y Vidrio. (CSIC). Madrid

² Centro Tecnológico Toledo AITEMIN. Toledo

³ Dpto. Física del Estado Solido. Univ. Complutense de Madrid.

⁴ CIEMAT. Lab. Dosimetría de Radiaciones. Madrid

⁵ Museo Nacional Ciencias Naturales. (CSIC). Madrid

16:30

APLICACIÓN DE LA TERMODIFRACCIÓN DE NEUTRONES A ALTA TEMPERATURA PARA ESTUDIAR "EN TIEMPO REAL" LA OBTENCIÓN DE MATERIALES DE CaZrO₃//MgO A PARTIR DE NANOPARTÍCULAS.

S. Serena, A. Caballero, X. Turrillas¹, D. Martín² y M. A. Sainz Instituto Cerámica y Vidrio. (CSIC). Madrid

¹ Instituto de Ciencias de la Construcción Eduardo Torroja. (CSIC). Madrid

² Institut Laue Langevin. Grenoble. Francia

16:45

DIFRACCIÓN DE NEUTRONES EN LA LaMnO_{3+δ} A ELEVADA TEMPERATURA.

A. Pascual¹, P. Recio¹, M.F. Barba¹, R. Martínez¹ y X. Turrillas¹

Instituto de Cerámica y Vidrio (CSIC). Campus de Cantoblanco. Kelsen s/n. 28049 – Madrid (España).

¹ Instituto Eduardo Torroja. (CSIC). Madrid.

17:00

CARACTERIZACIÓN DE LAS INTERCARAS DE COMPUESTOS TZP/Ni MEDIANTE MICROSCOPÍAS ANALÍTICA Y DE ALTA RESOLUCIÓN

A. Morales-Rodríguez, A. Bravo-León, A. Domínguez-Rodríguez Y M. Jiménez-Melendo.

Dpto. de Física de la Materia Condensada, Universidad de Sevilla.

JUEVES, 11 DE NOVIEMBRE. SALA 2

SÍNTESIS

Presidentes de sesión: Dra. M. Isabel Nieto y Dr. Antonio Ramírez

8:30

PSEUDOMORPHISM DURING THE CONVERSION OF BARITE TO BARIUM CARBONATE UNDER ALKALINE HYDROTHERMAL CONDITIONS

J. C. Rendón-Angeles¹, R. Suárez-Orduña¹, C. A. Gutiérrez-Chavarria¹, K. Zhub², K. Yanagisawa²

¹ Centro de Investigación y de Estudios Avanzados del IPN, Unidad Saltillo, Apdo. Postal 663. Saltillo 25000, Coahuila, México

² Research Laboratory of Hydrothermal Chemistry, Kochi University, Kochi 780-8520, Japan.

8:45

FABRICACIÓN DE CARBURO DE SILICIO A PARTIR DE PRECURSORES CELULÓSICOS ARTIFICIALES (CEL-SiC)

A. Bravo-León, A. R. de Arellano-López y J. Martínez-Fernández

Dpto. de Física de la Materia Condensada. Universidad de Sevilla

9:00

SÍNTESIS DE PRECURSORES TITANATOS PARA CERÁMICA AVANZADA POR EL TRATAMIENTO DE TiO₂

EN MEZCLAS DE SALES FUNDIDAS

T. Sánchez-Monjarás, Al. Gorokhovsky, J. I. Escalante-García
CINVESTAV Unidad Saltillo, Carr. Saltillo-Mty. Km. 13, AP 663, 25000 Saltillo, Coahuila, México

9:15

APLICACIÓN DE LA LIOFILIZACIÓN EN EL DISEÑO DE MATERIALES CERÁMICOS NANOESTRUCTURADOS.
C. Tallón, R. Moreno, M.I. Nieto.
Instituto de Cerámica y Vidrio. (CSIC). Madrid.

9:30

SÍNTESIS POR COMBUSTIÓN DE POLVOS DE MULLITA
O. Burgos, R. Moreno, M^a T. Colomer, J. C. Fariñas.
Instituto de Cerámica y Vidrio. (CSIC). Madrid.

9:45

OBTENCIÓN DE VIDRIOS DE OXICARBUTO DE ALTAS PRESTACIONES
S. Mazo, J. Rubio, F. Rubio Y J.L. Oteo
Dpto. de Química Física de Superficies y Procesos. Instituto de Cerámica y Vidrio.(CSIC). Madrid.

10:00

SÍNTESIS DE MATERIALES COMPUESTOS DE TiC-WC MEDIANTE SHS.
M.J. Mas-Guindal¹ L. Contreras¹ X. Turrillas² G.B.M. Vaughan³, Á. Kvick³ M.A. Rodríguez¹.
¹ Instituto de Cerámica y Vidrio. (CSIC) Madrid.
² Instituto E. Torroja de Ciencias de la Construcción, (CSIC). Madrid.
³ European Synchrotron Radiation Facility (ESRF), BP 220, F-38043 Grenoble Cedex, Francia

10:15

SÍNTESIS Y EVALUACIÓN DE LAS PROPIEDADES DE NANOPARTÍCULAS DE Gd₂O₃ DOPADAS CON CENTROS LUMINESCENTES DE Eu MEDIANTE SPRAY PIROLISIS
M.E. Rabanal¹, J.M.Torralba¹, L.Mancic² y O.Milosevic²
¹Dpto. de CC. De Materiales. Universidad Carlos III, Avda. Universidad 30, 28911 Leganes, Madrid.
²Institute of Technical Sciences of SASA, K.Mihajlova 35/IV, 11000 Belgrade, Serbia & Montenegro

JUEVES, 11 DE NOVIEMBRE. SALA 2**PROCESAMIENTO Y PROPIEDADES**

Presidentes de la sesión: Dr. M. A. Rodríguez y Dr. J. Rubio

11:15

ENDURECIMIENTO POR DEFORMACIÓN DEL MATERIAL COMPUESTO 6061/Al₂O₃/2P.
A.Forn, E. Rupérez, E. Martín
Centro de Diseño de Aleaciones Ligeras y Tratamientos de Superficie (CDAL).
Escuela Politécnica Superior de Vilanova i la Geltrú.
Universitat Politècnica de Catalunya (UPC).

11:30

MICROESTRUCTURA Y PROPIEDADES MECÁNICAS DEL S_C BIOMÓRFICO
M. Presas¹, J. Y. Pastor¹, J. Llorca¹, A. R. Arellano López², J. Martínez Fernández², R. Sepúlveda²
¹ Universidad de Sevilla
² Universidad Politécnica de Madrid

11:45

ACTIVACIÓN SUPERFICIAL DE NANOFIBRAS DE CARBONO.

F. Rubio¹, C. Merino², J. Rubio¹, R. Peña-Alonso¹, M^a. J.

Sánchez¹, J. L. Oteo¹

¹ Instituto de Cerámica y Vidrio. CSIC. Madrid.

² Grupo Antolín Ingeniería S.A Burgos.

12:00

SUPERHIDROFILIZACIÓN DE SUPERFICIES VÍTREAS
J. L. Oteo, J. Rubio, M^a. R. Elvira, M^a. A. Folgado, A. Lafuente
Instituto de Cerámica y Vidrio. CSIC. Madrid

12:15

DESGASTE EN ALUMINA REFORZADA CON CIRCONA
A. Martín, J. Y. Pastor¹, J. Llorca¹ J. F. Bartolomé y J.S. Moya
Instituto de Ciencia de Materiales de Madrid (CSIC). Madrid.
¹Dpto de Ciencia de Materiales. Universidad Politécnica de Madrid. E.T.S.I. Caminos, Canales y Puertos. Madrid.

12:30

COMPORTAMIENTO FRENTE A LA CORROSIÓN DE LA ALEACIÓN DE ALUMINIO 2124 REFORZADA CON SiC
J.A. López-Caballero, E. Martín, M.T. Baile¹, A. Forn y J.M. Bastidas
Cenim-Centro Nacional De Investigaciones Metalúrgicas, Csic,
Avda. Gregorio Del Amo 8, 28040 Madrid
¹ Escuela Politécnica Superior De Ingeniería Vilanova I La Geltrú, Upc, Vilanova I La Geltrú. Barcelona

12:45

SISTEMAS CERÁMICOS TUBULARES PARA DEPURACIÓN DE AGUAS RESIDUALES
J.M. Benito, A. Conesa, M.A. Rodríguez
Instituto de Cerámica y Vidrio (CSIC). Madrid

13:00

OBTENCIÓN DE PIEZAS DE CARBURO DE SILICIO POR INMERSIÓN DE PREFORMAS DE SILICIO EN LECHOS DE MATERIALES CARBONOSOS.
M. Gómez Boado, A. Pérez Vázquez, V. Valcárcel Juárez, F. Gutián Rivera
Instituto De Cerámica De Galicia. Santiago de Compostela.

13:15

OBTENCIÓN DE MATERIALES DENOS DE ALÚMINA REFORZADOS CON NIQUEL POR EL MÉTODO DE FILTRACIÓN COLOIDAL.
N. Hernández, A.J. Sánchez-Herencia Y R. Moreno
Instituto de Cerámica y Vidrio, CSIC. Madrid

13:30

LOS MINERALES DEL GRUPO DE LA CAOLINITA EN LA "ARCILLA DE MORÓ" (CASTELLÓ)
J. D. Martín-Martín¹, T. Sanfelix¹, y D. Gómez-Gras²
¹Dpto. Ciències Experimentals (ESTCE), Universitat Jaume I, Castelló.
²Dpto. de Geología, Facultat de Cièncie, Universitat Autònoma de Baceloa

JUEVES, 11 DE NOVIEMBRE. SALA 2**REFRACTARIOS**

Presidentes de sesión: Dr. A. Caballero y Dr. Carlos Domínguez

15:30

LA INDUSTRIA DE LOS REFRACTARIOS ESPAÑOLA Y SU DEPENDENCIA DE LAS MATERIAS PRIMAS DE IMPORTACIÓN. UN PRIMER ANÁLISIS.
E. Criado y A. H. De Aza
Instituto de Cerámica y Vidrio. (CSIC). Madrid.

15:45

COMPORTAMIENTO FRENTE A LA CORROSIÓN DE MATRICES REFRACTARIAS DE $\text{CaZrO}_3\text{-MgO}$ POR CLÍNQUER DE CEMENTO.

Sara Serena, M^a Antonia Sainz y Angel Caballero.
Dpto. de Cerámica. Instituto de Cerámica y Vidrio. Madrid.

16:00

CARACTERIZACIÓN DE UNA TIERRA DE DIATOMEAS Y ESTUDIO DE SU TRANSFORMACIÓN TÉRMICA

M. Álvarez, J. Gómez-Millán y C. Domínguez
Refractarios Alfrán S.A. Alcalá de Guadaira. Sevilla

16:15

COMPORTAMIENTO FRENTE A UNA ESCORIA DE ACERÍA DE MATERIALES REFRACTARIOS DE ALÚMINA Y HEXALUMINATO CÁLCICO

A. A. Vázquez¹, P. Pena² y A. Caballero²

¹Universidad Autónoma de Nuevo León, Fac. de C. Q., Dpto. de Inv., Monterrey Nuevo León (México)

²Instituto de Cerámica y Vidrio (CSIC). Madrid.

16:30

ESTUDIO DE LA TRANSFORMACIÓN TÉRMICA DE UNA ANDALUCITA.

T. Duran¹, A. H. de Aza¹, X. Turrillas^{2,3} P. Pena¹ y S. de Aza¹

¹Dpto de Cerámica. Instituto de Cerámica y Vidrio. (CSIC). Madrid.

²Instituto de Ciencias de la Construcción Eduardo Torroja (CSIC). Madrid.

³European Synchrotron Radiation Facility (ESRF). Grenoble. Francia.

16:45

ESTUDIO DE LA EVOLUCIÓN TÉRMICA DEL CAOLÍN MEDIANTE DIFRACCIÓN DE NEUTRONES.

A. H. de Aza¹, X. Turrillas^{2,3}, T. Duran¹, S. de Aza¹ y P. Pena¹.

¹Departamento de Cerámica. Instituto de Cerámica y Vidrio. Madrid.

²Instituto de Ciencias de la Construcción Eduardo Torroja (CSIC). Madrid.

³European Synchrotron Radiation Facility (ESRF). Grenoble (Francia).

VIERNES, 12 DE NOVIEMBRE. SALA 1

ELECTROCERÁMICA. PILAS

Presidentas de sesión: Dra. Marina Villegas y Dra. Carmen Pascual

8:30

ESTRUCTURA DE DOMINIOS EN EL CONDUCTOR PROTÓNICO $\text{SrCe}_{0.9}\text{Y}_{0.1}\text{O}_{3-\delta}$.

J. Ramírez-Rico^{1*}, M.J. López-Robledo¹, J. Martínez-Fernández¹, A.R. de Arellano-López¹, A. Sayir².

¹Departamento de Física de la Materia Condensada, Universidad de Sevilla

²Case-Western Reserve University, Cleveland, OH, USA.

8:45

PREPARATION OF Sr-DOPED LANTHANUM CHROMITE POWDERS UNDER HYDROTHERMAL CONDITIONS AND ITS SINTERING

J. C. Rendón-Angeles¹, L. P. Rivas-Vázquez¹, J. L. Rodríguez-Galicia¹, K. Zhu², K. Yanagisawa^b

¹Centro de Investigación y de Estudios Avanzados del IPN, Unidad Saltillo, Apdo. Postal 663. Saltillo 25000, Coahuila, México

²Research Laboratory of Hydrothermal Chemistry, Kochi University, Kochi 780-8520, Japan.

9:00

CARACTERIZACIÓN DEL COMPÓSITO, COFE2O4 EN SÍLICE PREPARADO POR EL MÉTODO EL SOL-GEL

L. G. Martínez-González, G. Mendoza-Suárez y A. F. Fuentes CINVESTAV-IPN Unidad Saltillo, Carretera Saltillo-Monterrey Km. 13, Apartado Postal 663, 25000 Saltillo, Coahuila, México.

9:15

MEMBRANAS CON CONDUCCIÓN PROTÓNICA PARA PILAS DE COMBUSTIBLE PEMFC

J. Mosa, M. Aparicio, A. Durán
Instituto de Cerámica y Vidrio (CSIC). Madrid.

9:30

CINÉTICA DE CRISTALIZACIÓN DE VITROCERÁMICOS DEL SISTEMA RO-BaO-SiO₂ (R= Mg, Zn) PARA EL SELLADO DE SOFC

M.J.Pascual, C.Lara, A.Durán

Instituto de Cerámica y Vidrio (CSIC). Madrid.

9:45

INFLUENCIA DE LA MICROESTRUCTURA EN LA CONDUCTIVIDAD DE LA CIRCONA ESTABILIZADA CON ITRIA.

M. Maldonado¹, P. Recio¹, J. Sánchez², C. Pascual¹.

¹Dpto de Electrocerámica. Instituto de Cerámica y Vidrio (CSIC). Madrid.

²Grupo Especializado de Materiales. E. I. I. Universidad de Extremadura. Badajoz

10:00

CARACTERIZACIÓN DE LAS INTERCARAS DE COMPUESTOS TZP/N_x MEDIANTE MICROSCOPIAS ANALÍTICA Y DE ALTA RESOLUCIÓN

B. Morales-Rodríguez, A. Bravo-León, A. Domínguez-Rodríguez y M. Jiménez-Melendo.

Dpto. de Física de la Materia Condensada. Universidad de Sevilla.

10:15

PREDICCIÓN DEL VOLTAJE DE CONMUTACIÓN EN VARISTORES BASADOS EN Z_NO

M. Peiteado, J. F. Fernández, A. C. Caballero

Dpto. de Electrocerámica, Instituto de Cerámica y Vidrio. (CSIC). Madrid.

VIERNES, 12 DE NOVIEMBRE. SALA 1

RECUBRIMIENTOS

Presidentes de sesión: Prof. R. Moreno y Dr. A. H. De Aza

11:15 - Conferencia Invitada

TRATAMIENTOS SUPERFICIALES Y RECUBRIMIENTOS PARA EL SECTOR DE CERÁMICA Y VIDRIO

J. I. Oñate.

Inasmet.

11:45

ANÁLISIS DE LA CAPACIDAD DE PELÍCULAS GRUESAS DE SnO₂ EXPUESTAS A UNA ATMÓSFERA DE AIRE

M. A. Ponce, M. S. Castro, C. M. Aldao

Instituto de Investigaciones en Ciencia y Tecnología de Materiales (INTEMA) .(CONICET-Universidad Nacional de Mar del Plata).

Mar del Plata. Argentina.

12:00

OBTENCIÓN DE POLVO METÁLICO REFORZADO CON PARCÍCULAS CERÁMICAS MEDIANTE SÍNTESIS POR

COMBUSTIÓN PARA SU UTILIZACIÓN EN PROYECCIÓN TÉRMICA

J.M. Benito, A.H. de Aza, M.A. Rodríguez, J.M. Guilemany¹, I.G. Cano, J. Navarro, J.R. Miguel

Instituto de Cerámica y Vidrio (CSIC). Madrid.

¹Centro de Proyección Térmica (CPT). Universidad de Barcelona

12:15

CRECIMIENTO Y CARACTERIZACIÓN DE RECUBRIMIENTOS CERÁMICOS CON APLICACIONES COMO BARRERAS TÉRMICAS

J. Gómez-García, P. Poza, V. Utrilla

Área de Ciencia e Ingeniería de Materiales

Dpto de Ingeniería Química, Ambiental y de los Materiales
Escuela Superior de Ciencias Experimentales y Tecnología
Universidad Rey Juan Carlos. Madrid

12:30

CONFORMADO DE CAPAS Y RECUBRIMIENTOS METAL-CERÁMICA POR PROCESAMIENTO COLOIDAL

G. Ferrari y R. Moreno

Instituto de Cerámica y Vidrio. (CSIC). Madrid.

12:45

SÍNTESIS DE CAPAS DE TiO_3 SOBRE SOPORTES DE Al_2O_3

J.M. Pedra¹, V. Lennikov², J.J. Gómez³, J.B. Carda¹, G.F. de la Fuente²

¹Dept. Química Inorgànica i Orgànica, Universitat Jaume I, Castelló

²Instituto de Ciencia de Materiales de Aragón (CSIC-Univ. Zaragoza). Zaragoza

³Servei Central d'Instrumentació Científica, Universitat Jaume I. Castelló

13:00

ADHERENCIA A LA MADERA DEL SiC BIOMÓRFICO COMO ELEMENTO DE REFUERZO ESTRUCTURAL RESISTENTE AL FUEGO

M. Marrero¹, A. Ramírez de Arellano Agudo¹, A. R. De Arellano López², J. Martínez Fernández², J. E. Povedano³

¹ Departamento de Construcciones Arquitectónicas II, Universidad de Sevilla

² Departamento de Física de la Material Condensada, Universidad de Sevilla

³ Consejería de Obras Públicas de la Junta de Andalucía, Sevilla

13:15

REDUCCION SUPERFICIAL DE CIRCON EN ATMOSFERAS DE BAJA PO2 A ALTAS TEMPERATURAS

P. Rey, A. Souto, J. Franco, F. Guitián

Instituto de Cerámica de Galicia. Santiago de Compostela

VIERNES, 12 DE NOVIEMBRE. SALA 1

PATRIMONIO

Presidentes de sesión: D. Emilio Criado y D. Francisco Capel

15:30

ESTUDIO DE LA RESISTENCIA MECANICA DE FABRICA DE LADRILLOS DE UN EDIFICIO DEL CENTRO HISTORICO DE MADRID

J. Velasco Vélez, F. J. Cerdeño del Castillo, R. Díaz Rubio
AITEMIN- Centro Tecnológico de la Arcilla Cocida., Toledo.

15:45

LOS PAVIMENTOS DE PORCELANA DE LA FÁBRICA DEL BUEN RETIRO

C. Pascual, P. Recio, F. J. Valle, A. H. De Aza, R. Martínez, E. Criado & S. De Aza

Instituto de Cerámica y Vidrio (CSIC). Madrid .

16:00

CARACTERIZACIÓN DE CERÁMICAS ANTIGUAS MEDIANTE ESPECTROSCOPIA DE PLASMAS INDUCIDOS POR LÁSER : APLICACIÓN AL CASO DE "TERRA SIGILLATA HISPÁNICA"

G. Nicolás, M. P. Mateo, A. J. López, A. Ramil, V. Piñón y A. Yáñez

Laboratorio de Aplicaciones Industriales del Láser
Dpto. de Ingeniería Industrial II. Escuela Politécnica Superior.
Universidade da Coruña

16:15

ESTUDIO DE LA EVOLUCIÓN DE FASES Y MICROESTRUCTURAS EN PROCELANAS TRIAXIALES Y SU APLICACIÓN A LOZAS Y PORCELANAS ANTIGUAS.

G. Campillo, A. Varela y F. Guitián¹

Seminario de Estudios Cerámicos de Sargadelos.

¹ Instituto de Cerámica de Galicia. Santiago de Compostela

16:30

ONDA ISLÁMICA. ESTUDIO Y CARACTERIZACIÓN. DE SUS AZULEJOS.

L. Chiva¹, J.J. Gómez¹, V. Estall², I. Núñez³, J.B. Carda³

¹ Servicio Central de Instrumentación Científica(SCIC), Universidad Jaume I. Castellón.

² Museo del Azulejo "Manolo Safont". Onda. Castellón.

³ Dpto de Química Inorgánica y Orgánica. Universidad Jaume I. Castellón.

VIERNES 12 DE NOVIEMBRE. SALA 2

INNOVACION INDUSTRIAL Y MEDIO AMBIENTE

Presidente de la sesión: Prof. J. Pascual Cosp y J. Bakali

8:30.- Conferencia Invitada.

DIAGNÓSTICO COMPARATIVO DE LOS SECTORES CERÁMICOS ESPAÑOL E ITALIANO DESDE UNA PERSPECTIVA TECNOLÓGICA

Fernández de Lucio y D. Gabaldón

Instituto Ingenio Universidad Politécnica de Valencia

9:00

DIAGNÓSTICO ESTRATÉGICO DEL SECTOR DE FABRICANTES CERÁMICOS. EVIDENCIA EMPÍRICA PARA EL CLUSTER DE CASTELLÓN

J. Albor Garrigós, J. L. Hervás Oliver

Grupo I+D+i CCT CV

Organización de Empresas

Universidad Politécnica de Valencia.

9:15

ANÁLISIS ESTRATÉGICO DEL SECTOR ESPAÑOL DE LOS AZULEJOS Y PAVIMENTOS CERÁMICOS

Dahoui Obón, J. Mariano, P. Fajarnés, G. Albors Garrigós, J. Latorre Carmona

Universidad Politécnica de Valencia (UPV).Valencia.

9:30

PROPUESTA DE NORMA ESPAÑOLA PARA EL CÁLCULO DE ELEMENTOS DE VIDRIO EN EDIFICACIÓN

G. Fernández Canteli, M.A. García Prieto, M.J. Lamela Rey, E.P.S. de Ingeniería de Gijón. Universidad de Oviedo

9:45

HORNO BASCULANTE PARA LA FUSIÓN DE FRITAS EN CONTINUO CON OXÍGENO PURO HFAL.

A.Tardío.

Abello Linde,S.A.

10:00

SISTEMA CGM (CONVECTIVE GLASS MELTING) PARA HORNOS DE FUSIÓN DE VIDRIO.

P. Viralta, A. Tardio.

Abello Linde,S.A.

10:15

EVALUACIÓN DE LOS MODELOS DE PREDICCIÓN DE MURRAY-DAVIES Y DE YULE-NIELSEN EN BALDOSAS CERÁMICAS IMPRESAS POR INYECCIÓN DE TINTA
G. Peris-Fajarnés¹, P. Latorre¹, F. Brusola, I. Tortajada
Dpto. de Expresión Gráfica en la Ingeniería; EPSG-Universidad Politécnica de Valencia.

VIERNES 12 DE NOVIEMBRE. SALA 2**11:15**

CEMENTOS RICOS EN BELITA., SÍNTESIS Y CARACTERIZACIÓN MINERALÓGICA.

A. G. de la Torre¹, A. H. De Aza², P. Pena², S. De Aza² y M. A. G. Aranda¹

¹Departamento de Química Inorgánica, Cristalografía y Mineralogía, Universidad de Málaga, 29071 Málaga.

²Instituto de Cerámica y Vidrio. (CSIC). Madrid.

11:30

UTILIZACIÓN DE LODOS PROCEDENTES DE LA INDUSTRIA DE ACABADOS SUPERFICIALES PARA LA FABRICACIÓN DE MATERIAL CERÁMICO
F.A Corpas Iglesias; M^a.C. Martínez García; R. Bermejo Román;
F.J. Iglesias Godino
E.P.S de Linares. Jaén

11:45

LAS ESCORIAS DE LA CENTRAL TÉRMICA GICC
ELCOGAS COMO MATERIA PRIMA PARA LA SÍNTESIS DE MATERIALES VITROCERÁMICOS
M. Aineto, I. Iglesias, A. Acosta
Facultad de Ciencias Químicas, Área de Mineralogía Aplicada.
Universidad de Castilla La Mancha. Ciudad Real

12:00

THERMAL SHOCK RESISTANCE OF COOKWARE MADE OF CERAMIC AND GLASS
Jacques Rosemont, Jean-Jacques Blanc.
Société Française de Céramique
23 Rue de Cronstadt .75015 Paris. France

12:15

ATM ANALIZADOR TÉRMICO MÚLTIPLE - UN NUEVO INSTRUMENTO PARA ANÁLISIS TÉRMICO -
Tadeusz v. Rymon-Lipinski¹. Gursev Dhupia². Julián De Andrés³.

¹Institute of Applied Technology. Rheinbach, Alemania

²Agni GmbH. Aachen. Alemania

³Ceremex. Madrid.

12:30

OBTENCIÓN DE α -Al₂O₃ DE ALTA SUPERFICIE ESPECÍFICA A PARTIR DE RESIDUOS URBANOS.

A. Ramírez del Valle¹, M.M. Martín Ruiz¹, T. Cordero Alcántara², L.A. Pérez Maqueda³, J.C. Galiano Serrano¹, J. Pascual Cosp¹

¹Departamento de Ingeniería Civil, de Materiales y Fabricación. E.T.S.I.I. Universidad de Málaga..

²Departamento de Ingeniería Química. E.T.S.I.I. Universidad de Málaga.

³Instituto de Ciencia de Materiales de Sevilla. C.S.I.C.-UNSE. Sevilla.

VIERNES 12 DE NOVIEMBRE. SALA 2**BIOMATERIALES**

Presidentes de sesión: Prof. F. Guitian y Prof. J. Cerra

15:30

CERÁMICAS BIOMÓRFICAS RECUBIERTAS CON VIDRIO BIOACTIVO PARA APLICACIONES MÉDICAS
J.P. Borrajo¹, P. González¹, J. Serra¹, S. Liste¹, S. Chiussi¹, B. León¹, A. de Carlos², F.M. Varela-Feria³, J. Martínez-Fernández³, A.R. de Arellano-López³

¹Universidad de Vigo, Dpto. Física Aplicada, Lagoas-Marcosende, Vigo.

²Universidad de Vigo, Dpto. Bioquímica, Genética e Inmunología, Lagoas-Marcosende. Vigo

³Universidad de Sevilla, Dpto. Física de la Materia Condensada. Sevilla

15:45

SINTERIZACIÓN DE RECUBRIMIENTOS DE HIDROXIAPATITA OBTENIDOS POR ELECTROFORESIS SOBRE SUBSTRATOS DE ACERO 316L Y DE ALEACIONES Ti6Al4V.

G. Vargas, A. Chávez, A. Nogiwa
Cinvestav Unidad Saltillo. Coahuila. México.

16:00

PROCESAMIENTO DE BIOMATERIALES BASADOS EN FOSFATOS CÁLCICOS MEDIANTE PLAQUEADO SUPERFICIAL CON LÁSER DE Nd:YAG

F. Lusquiños, J. Pou, M. Boutinguiza, F. Quintero, R. Soto, B. León, M. Pérez-Amor
Dpto. Física Aplicada, E.T.S. Ingenieros Industriales. Universidad de Vigo,

16:15

PROCESAMIENTO CERÁMICO DE B-TCP PARA LA FABRICACIÓN DE PIEZAS IMPLANTABLES.

J. Franco, A. Souto, P. Rey, F. Gutián
Instituto de Cerámica de Galicia. Santiago de Compostela

16:30

SUSTRADOS ELECTROACTIVOS DINÁMICOS (SED) PARA ADHERENCIA Y CRECIMIENTO NEURAL.

B. Moreno, J.R. Jurado, M. J. Collazos¹, E. Chinarro.

Instituto de Cerámica y Vidrio

¹Hospital de Parapléjicos de Toledo

16:45

ANÁLISIS DE VIDRIOS BIOACTIVOS MEDIANTE TÉCNICAS ESPECTROSCÓPICAS

S. Liste, J. Serra, P. González, J.P. Borrajo, S. Chiussi, B. León, M. Pérez-Amor

Universidad de Vigo, Dpto. Física Aplicada. Vigo.

SÁBADO : VISITA A FABRICA Y A SANTIAGO**SESIÓN POSTER**

P001 CORTE MEDIANTE LÁSER DE ELEMENTOS ESTRUCTURALES COMPUESTOS DE MULLITA-ALÚMINA
F. Quintero, J. Pou, F. Lusquiños, M. Boutinguiza, R. Soto, y M. Pérez-Amor
Dpto. Física Aplicada, Universidad de Vigo, E.T.S. Ingenieros Industriales. Vigo.

P002 SÍNTESIS DIRECTA POR LÁSER DE (SR1-X EUX)Al₂O₄
A. Puche, V. Primo y R. Ibáñez
Instituto de Ciencia de los Materiales de la Universidad de Valencia.

- P003 SÍNTESIS DIRECTA POR LÁSER DE $\text{Ce}_x\text{Pr}_{1-x}\text{O}_2$
A. Puche, V. Primo y R. Ibáñez
 Instituto de Ciencia de los Materiales de la Universidad de Valencia.
- P004 MODIFICACIÓN SUPERFICIAL DE MATERIALES CERÁMICOS POR LÁSER¹
P. Pardo¹, A. Puche², J. Bastida¹, R. Ibáñez², V. Primo²
¹Departamento de Geología, Universidad de Valencia.
²Instituto de Ciencia de los Materiales de la Universidad de Valencia.
- P005 SÍNTESIS POR LÁSER DE PIGMENTOS CON ESTRUCTURA ESFENA
T. Lyubenova¹, J.M. Pedra¹, V. Primo², R. Ibáñez², J.B. Carda¹
¹Dep. Química Inorgánica i Orgànica, Universitat Jaume I, Castelló
²Institut de Ciència dels Materials de la Universitat de València.
- P006 PLAQUEADO SUPERFICIAL LÁSER DE ELEMENTOS DE CARBURO DE SILICIO
F. Lusquiños, J. Pou, F. Quintero, M. Boutinguiza, R. Soto y M. Pérez-Amor
 Dpto. Física Aplicada, E.T.S. Ingenieros Industriales. Universidad de Vigo.
- P007 ESTUDIO MICROESTRUCTURAL POR DIFRACCIÓN DE RAYOS X DE CAOLINITA EN PUZOLANAS DE ARCILLAS CAOLINÍFERAS¹
V. Climent¹, P.Pardo², J. Bastida², A.M. López Buendía¹
¹Instituto Tecnológico de la Construcción de la Comunidad Valenciana (AITICO). VALENCIA.
²Departamento de Geología, Universidad de Valencia.
- P008 CARACTERIZACIÓN MEDIANTE MICROSCOPÍA CONFOCAL Y DIFRACCIÓN DE ELECTRÓNOS RETRODISPERSADOS DE GAN CRECIDO SOBRE Si(111)
J. M. López-Cepero¹, J. Ramírez-Rico¹, S. Raghavan², J. M. Redwing² y A. Bravo-León¹
¹Departamento de Física de la Materia Condensada. Universidad de Sevilla.
²Department of Materials Science and Engineering. The Pennsylvania State University. USA.
- P009 ESTUDIOS SUPERFICIALES Y FRACTOGRÁFICOS DE MONOCRISTALES DE $\text{ZrO}_2(\text{Er}_2\text{O}_3)$ DEFORMADAS PLÁSTICAMENTE A ALTA TEMPERATURA
J. M. López-Cepero¹, J. Quispe-Cancapa¹, A.R. Pinto-Gómez¹, J. Martínez-Fernández¹, A.R. de Arellano López¹, A. Sayir²
¹Departamento de Física de la Materia Condensada. Universidad de Sevilla
²NASA Glenn Research Center, Cleveland, OH, USA.
- P010 ESTUDIO DEL COMPORTAMIENTO TÉRMICO DE LAS FASES HIDRATADAS FORMADAS EN MEZCLAS DE ALUMINATOS DE CALCIO Y SÍLICE COLOIDAL POR TERMODIFRACTOMETRÍA DE NEUTRONES
J.M. Rivas Mercury, P. Pena, A.H. De Aza y X. Turrillas¹
 Instituto de Cerámica y Vidrio (CSIC). Madrid
¹Instituto de Ciencias de la Construcción Eduardo Torroja (CSIC). Madrid.
- P011 ESTRUCTURA DE DOMINIOS EN EL CONDUCTOR PROTÓNICO $\text{SrCe}_{0.9}\text{Y}_{0.1}\text{O}_{3-\delta}$ ¹
J. Ramírez-Rico¹, M.J. López-Robledo¹, J. Martínez-Fernández¹, A.R. de Arellano-López¹, A. Sayir²
¹Departamento de Física de la Materia Condensada, Universidad de Sevilla
²Case-Western Reserve University, Cleveland, OH, USA.
- P012 SÍNTESIS Y CARACTERIZACIÓN DE ÓXIDOS MIXTOS Zr-Mo POTENCIALMENTE ACTIVOS EN LA OXIDACIÓN DE HIDROCARBUROS
V. Sánchez Escrivano¹, J. M. Gallardo², E. Fernández López¹, C. del Hoyo Martínez¹
¹Dpto. Q. Inorgánica, F. de C.C. Químicas, Universidad de Salamanca
²Dpto. Q. Inorgánica I, Lab. Complutense de Altas Presiones (LACAP). U. Complutense. Madrid
- P013 SÍNTESIS HIDROTERMAL DE PIGMENTOS DE Co-WILLEMITA CON FORMA Y TAMAÑO DE PARTICULA HOMOGENEOS
R. Pozas, V. M. Orella¹ and M. Ocaña
 Instituto de Ciencia de Materiales de Sevilla (CSIC-UNSE). Sevilla.
¹Instituto de Ciencia de Materiales de Aragón, CSIC-Universidad de Zaragoza.
- P014 CARACTERIZACIÓN DEL SiC BIOMÓRFICO COMO ELEMENTO DE CALENTAMIENTO DE HORNS
J. J. Quispe Cancapa, H. Miranda González, A. R. de Arellano López, J. Martínez Fernández
 Dpto de Física de la Materia Condensada, Universidad de Sevilla.
- P015 SÍNTESIS DE $(\text{Sr}_{1-x}\text{Eu}_x)\text{Al}_2\text{O}_4$ POR DESCOMPOSICIÓN DE PRECURSORES LIOFILIZADOS.
A. Puche, V. Primo y R. Ibáñez
 Instituto de Ciencia de los Materiales de la Universidad de Valencia, ICMUV
- P016 MECANISMOS DE INFILTRACIÓN REACTIVA Y FORMACIÓN DEL CARBURO DE SILICIO BIOMÓRFICO
F.M. Varela-Feria, J. Martínez-Fernández, A. R. de Arellano-López
 Dpto. de Física de la Materia Condensada, Universidad de Sevilla. Sevilla.
- P017 SECUENCIA DE FORMACIÓN DE ALUMINAS TRANSITORIAS EN LAMINAS AUTOSOPORTADAS DE GEL DE PSEUDOBOEMITA.
M. Maldonado, C. Pascual y P. Recio
 Instituto de Cerámica y Vidrio (CSIC). Madrid
- P018 SYNTHESIS AND SINTERING OF $\text{LaCo}_{(1-x)}\text{Fe}_x\text{O}_3$ CERAMICS
G.R. Paula¹ A.M. Segadães²and M.R. Morelli¹
¹Federal University of São Carlos - Department of Materials Engineering, Via Washington Luís, km 235 - 13.565-905 - São Carlos SP - Brazil
²University of Aveiro - Department of Ceramics and Glass Engineering (CICECO) 3810-193 Aveiro - Portugal
- P019 DESARROLLO DE NANOMATERIALES HÍBRIDOS FENÓLICA-SÍLICE-CIRCONA. ESTUDIO CINÉTICO
D. Soriano, A. Mazo, L. Alonso, F. Rubio.
 Instituto de Cerámica y Vidrio (CSIC). Madrid
- P020 PREPARACION POR COMBUSTION Y CARACTERIZACION DE SR:LAPO4 Y DEL CERMET Ni/Sr:LaPO₄
Sergio Gallini, Glenn Christopher Mather, María Teresa Colomer, José Ramón Jurado
 Instituto De Cerámica Vidrio (CSIC). Madrid.
- P021 SÍNTESIS Y PREPARACIÓN DE MATERIALES BASADOS EN ALÚMINA DOPADOS CON TiO₂ Y SiO₂
E. Chinarr, R. Navidad, M.T. Colomer, J.R. Jurado
 Instituto de Cerámica y Vidrio, CSIC. Madrid
- P022 COMPORTAMIENTO ELÉCTRICO, EN AIRE Y CO, DE PELÍCULAS GRUESAS DE SnO₂
M. A. Ponce, J. E. Páez Rodríguez, C. M. Aldao, M. S. Castro
 Instituto de Investigaciones en Ciencia y Tecnología de Materiales (INTEMA) (CONICET-Universidad Nacional de Mar del Plata)
 Juan B. Justo 4302 (7600) Mar del Plata, Argentina.
- P023 EFECTO DEL ÁCIDO ESTEÁRICO EN LAS PROPIEDADES REOLÓGICAS DE UNA MEZCLA BASADA EN PROLIPIROPILENO PARA LA INYECCIÓN DE FERRITAS DE Ni-Zn.
E. Rodríguez Senín¹, A. Vázquez Álvarez², B. Levenfeld Laredo¹, J. Reig Pérez²
¹Departamento de Ciencia e Ingeniería de Materiales e Ingeniería Química, Universidad Carlos III de Madrid. Avda. de la Universidad, 30. 28911 - Leganés - Madrid - España
²Dep. d'Enginyeria Mecànica i de Materials, Escola Politècnica Superior d'Alcoi, Universitat Politècnica de Valencia. Alcoi. Valencia
- P024 ANÁLISIS DEL PROCESO DE CLASIFICACIÓN CERÁMICO
Tortajada Montañana¹, G. Peris Fajarnés¹, M. Aguilar Rico², P. Latorre Carmona¹.
¹Departamento de Expresión Gráfica en la Ingeniería
²Departamento de Restauración y Conservación de Bienes Culturales. Universidad Politécnica de Valencia

- P025 DILATOMETRÍA EN PEROVSKITAS $\text{Sr}(\text{FeCo})_{1-x}\text{O}_x$
C. Real¹, M.D. Alcalá¹, A.R. de Arellano-López², J. Martínez-Fernández², J.L. Routbort³, K.C. Goretta³
¹Instituto de Ciencia de Materiales de Sevilla, CSIC-Universidad de Sevilla
²Dpto. de Física de la Materia Condensada, Universidad de Sevilla
³Argonne National Laboratory, Argonne, Illinois, EEUU.
- P026 ANÁLISIS DE LA FIABILIDAD DE LA RESISTENCIA A LA COMPRESIÓN DE LADRILLOS MACIZOS MEDIANTE EL MÓDULO DE WEIBULL
F.A. Corpas Iglesias, Codina Sánchez, R. F.J. Iglesias Godino, A. J. Civanto Redruello
E.P.S de Linares. Jaén
- P027 UTILIZACIÓN DE LODOS PROCEDENTES DE LA INDUSTRIA DE ACABADOS SUPERFICIALES PARA LA FABRICACIÓN DE MATERIAL CERÁMICO
F.A. Corpas Iglesias, M.^oC. Martínez García, R. Bermejo Román, F.J. Iglesias Godino
E.P.S de Linares. Jaén
- P028 ESTRUCTURA, MICROESTRUCTURA Y TEXTURA DE MATERIALES HIBRIDOS MIXTOS DE Si-Al
L. Téllez¹, J. Rubio², F. Rubio², J. L. Oteo²
¹Instituto Politécnico Nacional-ESIQIE, UPALM-Zacatenco, México
D.F. 07738, México
²Instituto de Cerámica y Vidrio. (CSIC). Madrid
- P029 MECANISMOS DE DEHIDROXILACIÓN EN GLAUCONITAS: IMPLICACIONES PARA LA FIJACIÓN GEOLÓGICA DE CO_2 ATMOSFÉRICO VÍA REACCIONES DE CARBONATACIÓN.
S. Fernández Bastero, T. García, A. Santos, Luis Gago-Dupor
Dpto. de Geociencias Marinas. Universidad de Vigo.
Dpto. Cristalografía, Mineralogía y Geoquímica CASEM. Universidad de Cádiz
- P030 EFECTO DE LA ADICIÓN DE Ag EN Bi-2212 TEXTURADO MEDIANTE LASER
M. Mora, A. Sotelo, H. Amaveda, M.A. Madre, J.C. Diez, L.A. Angurel, G.E. de la Fuente
Instituto de Ciencia de Materiales de Aragón (C.S.I.C.- Univ. de Zaragoza). Zaragoza.
- P031 FORMACIÓN DE MICROESTRUCTURAS ESPONJOSAS EN 'JARDINES DE SÍLICE'
S. Fernández-Bastero¹, T. García¹, A. Santos² y L. Gago-Dupor²
¹Dpto. Geociencias Marinas, Universidad de Vigo, 36200 Vigo
²Dpto. Cristalografía y Mineralogía, Universidad de Cádiz.
- P032 ESTUDIO DE LA INFLUENCIA DE LA MOLIENDA MECÁNICA EN COQUES CON DIFERENTE CONTENIDO EN AZUFRE Y EVALUACIÓN DE LAS POSIBILIDADES DE SUSTITUCIÓN DEL GRAFITO EN ACEROS PULVIMETALÚRGICOS.
S. Guzmán, M.E. Rabanal, F. Velasco, J.M. Torralba
Dpto. de CC. De Materiales. Universidad Carlos III.Madrid.
- P033 ESTUDIO COMPARATIVO DE LA RESISTENCIA EN COMPRESIÓN DE LOS CERÁMICOS BIOMÓRFICOS Si/SiC Y SiC POROSO.
R. Sepúlveda, M.J. López Robledo, A.R. de Arellano López y J. Martínez Fernández.
Dpto de Física de la Materia Condensada, Universidad de Sevilla.
- P034 EFECTO DEL P2O5 SOBRE LAS PROPIEDADES SUPERFICIALES DE VIDRIADOS OPACOS CON TiO_2
A. Escardino, A. Moreno, E. Bou, M.^o. J. Ibáñez, A. Muñoz, A. Barba, A.
Instituto de Tecnología Cerámica. Universitat Jaume I. Castellón
- P035 REPLACEMENT OF FELDSPAR IN PORCELAINIZED STONEWARE TILES
B. Gibertoni¹, P.I. Paulin F^o¹, A.M. Segadães², and M.R. Morelli¹
Via Washington Luís, km 235 - 13.565-905 - São Carlos - SP - Brazil
²University of Aveiro - Department of Ceramics and Glass Engineering (CICECO) 3810-193 Aveiro - Portugal
- P036 PROCESAMIENTO DEL POLVO, ESTRUCTURA CRISTALINA, SINTERIZACIÓN Y PROPIEDADES ELÉCTRICAS DE MANGANITAS $\text{NdME}_{0.5}\text{Mn}_{0.5}\text{O}_3$ (ME = Ni,Co,Cu)
V. Gil¹, C.Moure¹, J.Tartaj¹, O.Peña², P. Durán¹
Instituto de Cerámica y Vidrio (CSIC), Dpto de Electrocerámica. Madrid.
- P037 PREPARACIÓN DE NANOPARTÍCULAS DE $\text{CeO}_2\text{-Gd}_2\text{O}_3$ SINTERIZABLES A BAJA TEMPERATURA POR DIFERENTES RUTAS.
V. Gil, J. Tartaj, C. Moure y P. Durán
Dpto de Electrocerámica. Instituto de Cerámica y Vidrio (CSIC). Madrid.
- P038 PROCEDIMIENTO PARA LA OBTENCIÓN DE PIEZAS CERÁMICAS CON PROPIEDADES MECÁNICAS MEJORADAS MEDIANTE LA PRECIPITACIÓN SOL-GEL 'IN SITU' DE UNA SUSTANCIA.
B. Cerecedo Fernández, V. Valcárcel Juárez y F. Gutián Rivera
Instituto de Cerámica de Galicia. Santiago de Compostela.
- P039 OBTENCIÓN DE ESPUMAS A PARTIR DE RESIDUOS DE PIZARRA
LEG Cambronero, J.M. Ruiz-Roman, J.M. Ruiz Prieto
Dpto. Ingeniería de Materiales, ETSI Minas-UPM. Madrid
- P040 ESTUDIO DE LAS PROPIEDADES DE VIDRIOS CERÁMICOS Bi(Pb)-2212
A. Sotelo, M. Mora, M. A. Madre, H. Amaveda, J. C. Diez, L. A. Angurel, F. Capel¹
Instituto de Ciencia de Materiales de Aragón (C.S.I.C.-Universidad de Zaragoza). Zaragoza.
¹Instituto de Cerámica y Vidrio (CSIC). Madrid.
- P041 MOLDEO POR INYECCIÓN DE Al_2O_3 EMPLEANDO UN SISTEMA LIGANTE BASADO EN PÁRAFINA.
Patricia Thomas-Vielma, Elena Rodríguez-Senín, Belén Levenfeld, Alejandro Vázquez Alberto Cervera
Dpto de Ciencia e Ingeniería de Materiales e Ingeniería Química, Universidad Carlos III de Madrid.
¹Instituto de Química y Materiales "Alonso Barba"
- P042 ESTUDIO DE INTRODUCCIÓN DE ÓXIDO DE TITANIO COMO AGENTE NUCLEANTE EN EL SISTEMA VITRIFICANTE $\text{SiO}_2\text{-Al}_2\text{O}_3\text{-ZnO-CaO}$
I.Nuñez¹, M. Peiró¹, E. Navarro¹, J. Gómez², L. Chiva², J. Martínez³, y J.B. Carda¹
¹Departamento de Química Inorgánica y Orgánica, Universitat Jaume I, Castellón.
²Serveis Centrals d'Instrumentació Científica, Universitat Jaume I, Castellón.
³Quimicer, S.A., Onda, España
- P043 SINTERIZACIÓN Y EVOLUCIÓN MICROESTRUCTURAL DE CERÁMICAS BASADAS EN TITANATO DE BISMUTO
T. Jardiel, A.C. Caballero, J.F. Fernández, M. Villegas
Dpto. de Electrocerámica, Instituto de Cerámica y Vidrio(CSIC). Madrid.
- P044 SÍNTESIS DE MEMBRANAS INORGÁNICAS E HÍBRIDAS PARA PEMFC
B. Moreno, E. Chinarro, M.C. Fernández, M. Carrasco, M. Aparicio, J.R. Jurado, A. Durán
Instituto de Cerámica y Vidrio. (CSIC). Madrid
- P045 ENERGÍA SUPERFICIAL DE MATERIALES HÍBRIDOS PREPARADOS A PARTIR DE TEOS-TEB-PDMs
A. Tamayo, R. Peña-Alonso, M.^o J. Sánchez, F. Rubio, J. L. Oteo
Instituto de Cerámica y Vidrio. CSIC.Madrid
- P046 OBTENCIÓN DE MULLITA A BAJAS TEMPERATURAS A PARTIR DE COMPOSITES DE CAOLINITA.
J. Pascual-Cosp¹, A. Justo-Erbez², J.L. Pérez Rodríguez², J.M. Martínez-Blanes², J.C. Galiano Serrano¹, A.J.Ramírez del Valle¹
¹Departamento de Ingeniería Civil, de Materiales y Fabricación. E.T.S.I.I. Universidad de Málaga.
²Instituto de Ciencia de Materiales de Sevilla. C.S.I.C.-UNSE. Sevilla.
- P047 THE CORRECTION OF CLAYS FOR THE PRODUCTION OF BRICK WITH TYRES RUBBERS
L. Pezzi, F. Chiappetta, P.De Luca, and A. Nastro
Dpartment of Pianificazione Territoriale, 87030 Arcavacata di Rende – Cosenza

- P048 MODIFICACIÓN MICROESTRUCTURAL DE BALLCLAYS MEDIANTE TRATAMIENTO TÉRMICO
I.Bastida¹; M.T. Lores²; J.de la Torre³; P. Pardo⁴ y A.M. López Buendía³
¹Departamento de Geología. Universidad de Valencia. Burjasot. Valencia
²Departamento de Ingeniería Química. Universidad de Valencia. Burjasot. VALENCIA
³AIDICO, Instituto Tecnológico de la Construcción de la Comunidad Valenciana. Paterna, VALENCIA.
- P049 RARE EARTH MODIFIED LEAD TITANATE PEROVSKITE-TYPE STUDY
F. C. D. Lemos¹, D. M. A. Melo¹, J. E. C. Da Silva², E. Longo³, A. O. Silva⁴, A. A. Cardoso¹
¹Departamento de Química, UFRN, P. O . Box 1605, Natal, RN, 59078-970, Brasil
²Universidade Federal do Tocantins, UFT, Araguaína, TO, 778076-060, Brasil
³Departamento de Química, Universidade Federal de S. Carlos, SP, 13565-905, Brasil
- P050 INFLUENCIA DE LA PROPORCIÓN DE ADITIVOS EN LA RESPUESTA ELÉCTRICA DE A-SIC SINTERIZADO CON FASE LÍQUIDA DE $Y_2O_3\text{-}AL_2O_3$
E. Sánchez González¹, A. L. Ortiz Seco¹, F. Guiberteau Cabanillas¹, M. Maldonado Cruz² y C. Pascual Centenera²
¹Grupo Especializado de Materiales. Escuela de Ingenierías Industriales. Universidad de Extremadura. Badajoz.
²Departamento de Electrocerámica. Instituto de Cerámica y Vidrio (CSIC). Madrid.
- P051 INFLUENCIA DE LA COMPOSICIÓN EN LA RESPUESTA NO LINEAL DE CERÁMICAS FERROELÉCTRICAS.
F.J. Jiménez, J. De Frutos, A.M. Gonzalez, M. C. Duro
E.T. S. I. Telecomunicación (UPM). Ciudad Universitaria. 28040- Madrid
- P052 ESTUDIO MEDIANTE EIC DE MEMBRANAS DE INTERCAMBIO PROTÓNICO ORGÁNICAS, INORGÁNICAS E HÍBRIDAS.
B. Moreno, E. Chinarro, M. Carrasco, M^a C. Fernández, J.R. Jurado
Instituto de Cerámica y Vidrio. (CSIC).Madrid
- P053 RECUBRIMIENTOS PROTECTORES DE TiN Y ALN: COMPORTAMIENTO FRENTA A TEMPERATURA
M.A. Auger, O. Sánchez y J.M. Albelia
Instituto de Ciencia de Materiales de Madrid (CSIC.). Madrid
- P054 RECUBRIMIENTOS DE DIAMANTE CVD SOBRE METAL DURO CON UNA INTERCAPA DE Si_3N_4
M. Belmonte¹, M.I. Osendi¹, P. Miranzo¹, M. Vila², C. Prieto², F.J. Oliveira³, A.J.S. Fernandes⁴, F.M. Costa⁴, R.F. Silva³
¹Instituto de Cerámica y Vidrio, CSIC, Campus de Cantoblanco, 28049- Madrid
²Instituto de Ciencia de Materiales de Madrid, CSIC, Campus de Cantoblanco, 28049- Madrid
³Dpto de Engenharia Cerâmica e do Vidro, CICECO, Universidade de Aveiro, 3810-193 Aveiro - Portugal
⁴Departamento de Física, Universidade de Aveiro, 3810-193 Aveiro - Portugal
- P055 EFECTO DE LAS PARTÍCULAS CERÁMICAS EN EL ANODIZADO DE ALEACIONES DE ALUMINIO REFORZADO
A. Forn, M. Baile y J. A. Picas
Dpto de Ciencia de Materiales e Ingeniería Metalúrgica. Centro de Diseño de Aleaciones Ligeras y Tratamientos de Superficie (CDAL) Universidad Politécnica de Cataluña. Vilanova i la Geltrú, Barcelona.
- P056 NUEVAS TECNOLOGÍAS EN EL PROCESAMIENTO DE RECUBRIMIENTOS DE CERÁMICAS BIOACTIVAS
C. L. Solla, J. P. Borrajo, P. González, J. Serra, S. Liste, S. Chiussi, B. León, M. Pérez-Amor
Universidad de Vigo, Dpto de Física Aplicada. Vigo.
- P057 ESTUDIO COMPARATIVO DE CERÁMICAS ROMANAS 'TERRA SIGILLATA' PROCEDENTES DE DISTINTOS CENTROS DE PRODUCCIÓN
A. J. López, A. Ramil, M. P. Mateo, V. Piñón y G. Nicolás
Laboratorio de Aplicaciones Industriales del Láser. Dpto de Ingeniería Industrial II. Escuela Politécnica Superior. Universidad da Coruña
- P058 LADRILLOS DE LA CASA DEL GRECO (TOLEDO): CARACTERIZACION, EDAD, ORIGEN DE LA ARCILLA Y MATERIALES DE RESTAURACIÓN
P. López-Arce¹, Javier García-Guinea², Eduard J. Rhodes³, Virgilio Correcher⁴, Francisco-José Valle-Fuentes⁵, Jean Luc Schwenninger³
¹Centro Tecnológico Toledo ALTEMIN. Toledo
²Museo Nacional Ciencias Naturales.(CSIC). Madrid
³University Oxford, Luminescence Dating Laboratory. OX1 3QJ UK
⁴CIEMAT. Lab. Dosimetría de Radiaciones. Madrid
⁵Instituto de Cerámica y Vidrio. (CSIC). Madrid
- P059 CARACTERIZACIÓN QUÍMICO-FÍSICA DE LOS PIGMENTOS UTILIZADOS EN EL PINTADO DE VIDRIERAS MEDIEVALES.
S. Pérez-Villar¹, A. Muñoz-Ruiz², M^a. R. Elvira¹, J. Rubio¹, J. L. Oteo¹
¹Instituto de Cerámica y Vidrio. CSIC. Madrid.
²Vetrania-Muñoz de Pablos. S. L. Segovia.
- P060 ESTUDIO DE LOS FENÓMENOS DE DEGRADACIÓN DE LAS VIDRIERAS DE LA CATEDRAL DE ÁVILA.
S. Pérez-Villar¹, A. Muñoz-Ruiz², J. Rubio¹, M^a. R. Elvira¹, J. L. Oteo¹
¹Instituto de Cerámica y Vidrio. CSIC. Madrid.
²Vetrania-Muñoz de Pablos. S. L. Segovia.
- P061 DISTRIBUCIÓN DE TENSIONES EN FACHADAS DE AZULEJOS SUJETAS A DILATACIONES TÉRMICAS
A. Ramírez de Arellano Agudo, M. Marrero y R. Lucas Ruiz
Dpto. de Construcciones Arquitectónicas II, Universidad de Sevilla.
- P062 INTRODUCCIÓN DE RESIDUOS DEL SECTOR CERÁMICO EN LA FORMULACIÓN DE NUEVAS PASTAS DE GRES PORCELANÍCO.
C. Gil, E. Navarro, S. López, S. Gabaldón y J.B. Carda.
Dpto de Química Inorgánica y Orgánica. Universitat Jaume I de Castellón.
- P063 PREPARATION OF COMPACTS OF BIOGLASS 45SS WITH AND WITHOUT HYDROXYAPATITE POWDER UNDER ALKALINE HYDROTHERMAL HOT-PRESSING CONDITIONS
J. C. Rendón-Angeles¹, D. Cruz-Vargas¹, J. López-Cuevas¹, J. Méndez-Nonell¹, K. Yanagisawa²
¹Centro de Investigación y de Estudios Avanzados del IPN, Unidad Saltillo, Apdo. Postal 663. Saltillo 25000, Coahuila, México
²Research Laboratory of Hydrothermal Chemistry, Kochi University, Kochi 780-8520, Japan.
- P064 NANOCRYSTALLINE DIAMOND DEPOSITION ON A Si_3N_4 - BIOGLASS® COMPOSITE BY HFCVD
E. Salgueiredo¹, F.J. Oliveira¹, F. Almeida¹, A.J.S. Fernandes², F. Costa², R.F. Silva¹
¹Glass and Ceramics Eng. Department, CICECO, University of Aveiro, 3810-193 Aveiro, Portugal
²Physics Department, University of Aveiro, 3810-193 Aveiro, Portugal
- P065 SUSTRADOS ELECTROACTIVOS DINÁMICOS (SED) PARA ADHERENCIA Y CRECIMIENTO NEURAL.
B. Moreno, J.R. Jurado, M. , J. Collazos, E.Chinarro.
Instituto de Cerámica y Vidrio. (CSIC). Madrid
Hospital de Parapléjicos de Toledo. Toledo
- P066 POSIBILIDADES DE UTILIZACION CERAMICA DE MATERIAS PRIMAS DEL CARBONIFERO DE SIERRA MORENA OCCIDENTAL
Pedro J. Sánchez Soto, Manuela Raigón Pichardo y Antonio Ruiz Conde*
Instituto de Ciencia de Materiales de Sevilla, Centro Mixto CSIC-US, Sevilla
^{*}La Maestranza-Simón Verde, c/Ecuador nº 5, 41120-Gelves, Sevilla
- P067 CARACTERIZACIÓN DE PIEZAS CERÁMICAS VIDRIADAS DE INTERÉS ARQUEOLÓGICO DE ÉPOCA MEDIEVAL DE AL-ANDALUS
J.J. Beníteza, M^a.E. Enrique Magariñob, A. Ruiz Condea, P.J. Sánchez-Sotoa
^aInstituto de Ciencia de Materiales de Sevilla, Centro Mixto CSIC-US, c/ Américo Vespucio nº 49, Isla de la Cartuja, 41092-Sevilla
^bDepartamento de Física de la Materia Condensada, Facultad de Física, Universidad de Sevilla, Campus de Reina Mercedes,41071-Sevilla.

- P068 APLICACIONES CERÁMICAS DE LAS FILITAS DEL SUDESTE DE ESPAÑA
E.Garzón Garzón, A. M. Romerosa Nievasb A. Ruiz Condec y P.J. Sánchez-Sotoc
 a) Departamento de Ingeniería Rural, Universidad de Almería, La Cañada de San Urbano, 04120-Almería
 b) Área de Química Inorgánica, Universidad de Almería, La Cañada de San Urbano, 04120-Almería
 c) Instituto de Ciencia de Materiales de Sevilla, Centro Mixto CSIC-US, c/ Américo Vespucio s/n, Isla de la Cartuja, 41092-Sevilla
- P069 RECUPERACIÓN DE LA CERÁMICA TRADICIONAL EN LAS COMARCAS DE CASTELLÓN
J. Barachina, A. Arnau, L. Chiva, J. B. Carda
 Proyecto Fundación Cerámica Viva. Castellón.
- P070 ESTUDIO Y DESARROLLO DE MATERIALES REFRACTARIOS PARA REVESTIMIENTO DE HORNS DE FRITADO, RESISTENTES A LA CORROSIÓN Y AL DESGASTE PARA LA OBTENCIÓN DE FRITAS DE ALTA TEMPERATURA DE APLICACIÓN COMO ESMALTES DE GRES Y GRES PORCELANICO
J. Martínez, J.M. Pedrab, I. Nuñezb, M. Peirób, J. B. Cardab
(Proyecto IBK04-334)
 a) Quimicer S.A., Onda (Castellón)
 b) Departamento de Química Inorgánica y Orgánica E.S.T.C.E. de la Universitat Jaume I (Castelló).
- P071 ESTUDIO Y CARACTERIZACIÓN DE MATERIAS PRIMAS DE ARGENTINA DE INTERÉS PARA LA INDUSTRIA CERÁMICA.
R. Heviaa, A. Inocencioa, J. Gómez, J. B. Cardac
 a) Instituto de Tecnología Minera (INTEMIN) - Servicio Geológico Minero Argentino (SEGEMAR), Buenos Aires (Argentina)
 b) Servicio Central de Instrumentación Científica. Universitat Jaume I (Castelló).
 c) Departamento de Química Inorgánica y Orgánica E.S.T.C.E. Universitat Jaume I (Castelló).

VII Reunión Nacional de Electrocerámica

Teruel, 30 junio y 1 de julio de 2005

La próxima Reunión Nacional de Electrocerámica de la Sociedad Española de Cerámica y Vidrio, se celebrará en Teruel los próximos 31 de junio y 1 de Julio de 2005.

El comité organizador está presidido por la Dra Rosa Isabel Merino del Instituto de Ciencia de Materiales de Aragón, CSIC.

El objetivo de esta VII reunión es de dinamizar las actividades de I+D+I en el campo de los materiales electrocerámicos en el ámbito nacional, mediante la presentación pública y su discusión de los últimos avances científicos y tecnológicos contrastados con la presencia de científicos europeos. Los trabajos científicos presentados deberán ser originales dentro de los siguientes temas:

- Nuevos métodos de procesado de materiales.
- Dielécticos y condensadores.
- Piezoeléctricos y ultrasonidos.
- Piroeléctricos, electro-ópticos.
- Magnéticos y magnetoresistivos.
- Superconductores
- Nanoestructurados.
- Conductores electrónicos iónicos y/o mixtos.
- Pilas de combustible y baterías.
- Materiales conformados en lámina gruesa y delgada.

- Aplicaciones de materiales electrocerámicos.

A partir de este momento es posible el envío de resúmenes a la secretaría de la reunión

Más información en la Secretaría de la VII Reunión Nacional de Electrocerámica: Sociedad Española de Cerámica y Vidrio, Instituto de Cerámica y Vidrio, CSIC, 28049 Madrid; Tel 91 735 5860 - Fax 91 735 58 43, E-mail: secv@icv.csic.es, Web: www.secv.es

FORMATO DE PRESENTACION DE RESUMENES

Los resúmenes serán reproducidos directamente según sean recibidos. El resumen deberá escribirse en una página Din A4 con 3 cm de márgenes arriba y abajo y 2 cm de márgenes a izquierda y derecha. Utilice un espacioado interlineal de 1,5 y un tipo de letra Times New Roman (12 pitch). Escriba el título en letras mayúsculas, centrado. Después de una línea en blanco añada el nombre del autor(es). En la siguiente línea escriba la afiliación y dirección del autor(es). Escriba el texto del resumen después de otra línea en blanco.

Los trabajos presentados a la V Reunión Nacional sobre Electrocerámica y aceptados por el Comité Editorial, serán publicados en el Boletín de la Sociedad Española de Cerámica y Vidrio en un número especial. Dicho número se distribuirá a los asistentes a la ELECTROCERAMIC X, congreso europeo de Electrocerámica.

International Conference on Electrophoretic Deposition: Fundamentals and Applications

18-23 Agosto, 2002, Banff, Canadá

La Conferencia se centra en los fundamentos y aplicaciones de la Deposición Electroforética (EPD) como una técnica de procesamiento de materiales tradicionales y avanzados. Aunque la base de la EPD es bien conocida, todavía es necesario profundizar en el estudio cuantitativo del mecanismo de EPD, en particular en suspensiones de dos o más componentes, necesarios en el diseño de microestructuras complejas, tales como materiales reforzados con fibras, nanocomposites, laminados y materiales con función gradiente. Además, la EPD tiene un gran potencial en electrocerámica, con aplicaciones en la fabricación de componentes piezoelectricos, sondas de ultrasonidos para aplicaciones biomédicas, sensores químicos o células de combustible.

Esta es la primera vez que se realiza una Conferencia Internacional dedicada exclusivamente a la Deposición Electroforética (EPD) como una técnica de procesamiento de materiales, por lo que constituirá un foro excepcional para la discusión de aspectos relevantes de la técnica entre expertos de la industria y del mundo académico.

Los contenidos generales de las sesiones

- Fundamentos del proceso de EPD y modelado,
- Aplicaciones tradicionales: cerámica
- Aplicaciones tradicionales: metales y recubrimientos
- Nuevas aplicaciones: materiales compuestos, la-

minados, nanomateriales, materiales con función gradiente.

La Conferencia está organizada por la United Engineering Foundation (www.engfnd.org; e-mail: engfnd@aol.com), aunque también cuenta con el apoyo de la American Ceramic Society, del Institute of Materials (London) y de la German Materils Society (DGM).

Comisión organizadora.

La Comisión Organizadora está presidida por: Dr. A. R. Boccaccini (Department of Materials, Imperial College of Science, Technology and Medicine, London, UK, e-mail: a.boccaccini@ic.ac.uk); Prof. P. S. Nicholson (Department of Materials Science and Engineering, McMaster University, Hamilton, Canadá, e-mail: nicholsn@mcmail.cis.mcmaster.ca), y Prof. O. van der Biest (Deptartment of Metallurgy and Materials Engineering, Katholieke Universiteit Leuven, Bélgica, e-mail: omer.vanderbiest@mtm.kuleuven.ac.be).

Como miembros de la Comisión Organizadora participan: J. Andeson, K.K. Chawla, R. Clasen, A. Foissy, L. Gal-Or, C. Kaya, H. Krueger, T. Minami, R. Moreno, E. Mueller, C.B. Ponton, C. Randall, P. Sarkar, N. Stoloff, J.B. Talbot, T. Umegaki, y I. Zhitomirsky.



Nuevo nanovoltímetro modelo 2182A

El modelo 2182A representa el siguiente paso en la tecnología de Keithley fabricando nanovoltímetros. Sus tituye al anterior 2182 y mejora su funcionalidad incluye medidas pulsadas, menor ruido, inversión de corriente más rápidamente y un modo delta simplificado para realizar medidas de resistencia en combinación con las

fuentes de corriente 6220 y 6221 que invierte su polaridad hasta 24 veces por segundo.

La posibilidad de elegir entre un rango amplio de tiempos de respuesta permite optimizar la velocidad / ruido consiguiendo por ejemplo un ruido de sólo 15 nV p-p a 1 segundo ó de 40-50 nV a 60 ms.

Proporciona un rechazo al ruido en modo común de 110 dB gracias a su sincronización con la línea de red.

Dispone de dos canales para medir voltaje, temperatura o relación entre una resistencia desconocida y una resistencia referencia.

Medidas de conductancia diferencial:

En definitiva la derivada de la curva I-V de un dispositivo, es una medida fundamental cuando se caracterizan dispositivos no lineales y dispositivos de baja temperatura. La combinación 2182A + 6220 ó 6221 ofrecen la solución mas completa y mas rápida disponible en la actualidad.

Medidas pulsadas:

Cuando se mide resistencia en dispositivos pequeños, hasta corrientes de test muy pequeñas calientan el dispositivo falseando los resultados o incluso destruyendo el dispositivo. La solución es realizar la medida generando un pulso corto de baja corriente. La combinación 2182 + 6221 puede realizar una medidas pulsante en tan solo 50 µs.

Aplicaciones en Metrología:

Gracias a su bajo ruido, gran tiempo de observación de señal, gran rapidez y una precisión de 2 ppm es el medidor mas efectivo, teniendo en cuenta su precio, para intercomparaciones de patrones de voltaje y medidas directas sobre resistencias patrón.

Aplicaciones en Nanotecnología:

En combinación con las fuentes 6220, 6221 o la serie 2400 constituye una solución ideal para medir materiales basados en nanotubos de carbono y en nanohilos de silicio.

Aplicaciones en investigación:

Su sensibilidad, capacidad de realizar cálculos, alta velocidad de medida lo convierten en el instrumento ideal para determinar características de materiales como metales, plásticos de baja resistencia o superconductores de alta y baja temperatura.

Obtenga especificaciones detalladas en : www.idm-instrumentos.es/nanovoltmetro.html

**La SECV
les desea un Feliz 2005**

Publicaciones de la Sociedad Española de Cerámica y Vidrio

	Precio sin IVA	Socios	No socio
I Semana de estudios cerámicos (Madrid 1961)	12	15	
II Semana de estudios cerámicos (Madrid 1963).....	12	15	
III Semana de estudios cerámicos (Madrid 1965)	12	15	
IV Semana de estudios cerámicos (Madrid 1967)	12	15	
XI Congreso Internacional de Cerámica (Madrid, 1968)	36	42	
Terminología de los defectos del vidrio (Madrid, 1973).....	15	18	
Horno eléctrico de arco (I Reunión Monográfica de la Sección de Refractarios, Marbella 1973). AGOTADO.....	--	--	
El Caolín en España (Madrid,1974) (E. Galán Huertos y J.Espinosa de los Monteros).....	12	15	
Refractarios en colada continua (Madrid, 1974).....	--	--	
Refractarios en la industria petroquímica (III Reunión monográfica de la Sección de Refractarios, Puerto de la Cruz, 1976)	12	15	
Refractarios para la Industria del Cemento (Madrid , 1976) AGOTADO.			
Refractarios para tratamientos de acero y cucharas de colada, incluyendo sistemas de cierre de cucharas (XX Coloquio Internacional sobre Refractarios, Aquisgrán, 1977) (Edit. E. Criado).....	39	45	
Primeras Jornadas Científicas. El color en la cerámica y el Vidrio (Sevilla, 1978)	12	15	
Pastas cerámicas (Madrid, 1979) (E. Gippini) .AGOTADO.....	--	--	
Segundas Jornadas Científicas. Reactividad de sólidos en cerámica y Vidrio (Valencia, 1979).....	15	18	
Terceras Jornadas Científicas (Barcelona, 1980).....	18	24	
Cuartas Jornadas Científicas(Oviedo, 1981).....	18	24	
Separación de fases en vidrios. El sistema Na ₂ O.B ₂ O ₃ SiO ₂ (Madrid,1982). (Edit. J.M.Rincón y A.Durán).....	15	18	
I Congreso Iberoamericano de Cerámica ,Vidrio y Refractarios (dos volúmenes) (Torremolinos, 1982) (Madrid ,1983).....	27	36	
Quintas Jornadas Científicas (Santiago de Compostela, 1984)	15	18	
Tablas Cerámicas (Instituto de Cerámica Técnica, Valencia) AGOTADO	--	--	
Vocabulario para la Industria de los materiales refractarios (español-francés-inglés-ruso) UNE 61-000 (Madrid, 1985) (Edit. E.Criado).....	27	36	
Diccionario cerámico científico-práctico (español- inglés-alemán-francés) C.Guillem Monzonís y M ^a C. Guillem Vilar. (Valencia, 1987).....	30	36	
Curso sobre materias primas para cerámica y vidrio (Edit. J.M ^a González Peña, M.A.Delgado Méndez) y J.J. García Rodríguez) (Madrid, 1987) AGOTADO.....	--	--	
Processing of Advanced Ceramics (Edit. J.S. Moya y S. De Aza) (Madrid, 1987)	36	42	
Los materiales cerámicos y vitreos en Extremadura (Edit. J.M ^a Rincón) (Mérida, 1988).....	12	18	
Glasses and Glass-Ceramics for Nuclear Waste Management (Edit. J.M ^a Rincón) (2 ^a Edición) (También en microficha)	24	30	
Materiales refractarios en siderurgia. Revisión bibliográfica 1980-1987.			
Refractory Materials in Iron & Steelmaking a Bibliographic Review (Edit. E.Criado, A.Pastor y R.Sancho)	36	42	
Ciencia y Tecnología de los Materiales Cerámicos y Vítreos. España '89 (Edit J.M ^a Rincón) (Faenza Editrice y SECV) (Castellón, 1990).....	30	34,86	
Cerámica y Vidrio '91 (Edit. J.M ^a Rincón , F.Capel y A.Caballero) (Palma, 1991).....	12	18	
Nuevos productos y tecnologías de esmaltes y pigmentos cerámicos (Edit. J.M ^a Rincón, J.Cardal y J.Alarcón) (1991) (Faenza Editrice y SECV).....	24	30	
El Vidrio en Iberoamérica. Industria, Investigación y Formación. (Coord. A.Durán)Red CYTED (1998)	15	18	
Refractarios monolíticos (Coord. C. Baudin)	24	30	
El reciclado del vidrio (Coord. A. Durán. Edit. Red CYTED, 2000)	15	21	
Vocabulario de refractarios - CD Rom (francés, español, inglés, alemán)	15	21	
Bibliografía Histórica de la Cerámica Española - CD Rom (J. Coll)	15	21	

PEDIDOS

Los pedidos pueden dirigirse a:

Sociedad Española de Cerámica y Vidrio

Ctra. de Valencia, Km.24,300. 28500 Arganda del Rey (Madrid)

Los envíos se reafizarán por transporte urgente a portes debidos.

DOCUMENTACION

La Sociedad Española de Cerámica y Vidrio ofrece a sus socios los siguientes servicios de documentación: *fotocopias de artículos, traducciones de artículos, perfiles bibliográficos, revisiones monográficas.*

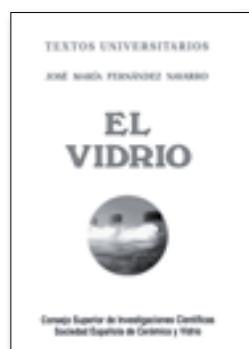
Cerámica y Vidrio

BOLETIN DE LA SOCIEDAD ESPAÑOLA DE
CALENDARIO

Fecha	Lugar	Evento	Dirección
10-13 noviembre 2004	Vigo (España)	XLIV Congreso SECV	www.secv.es secv@icv.csic.es
10-14 abril 2005	Shanghai (China)	ISG/ICG`2005	cshu@mail.shcnec.ac.cn http://www.ceramsoc.com
14-16 septiembre 2005	Parma (Italia)	XX A.T.I.V. Conference	info@ativ.cersaie.it http://www.ativ-online.it
29 mayo - 3 junio 2005	Barga (Italia)	2nd International Conference on Electrophoretic Deposition: Fundamentals and Applications	www.engconfintl.org/5ad.html
19-23 junio 2005	PortoRoz (Eslovenia)	9th European Ceramic Society Meeting	ecers2005portoroz@siol.net www.ecers2005portoroz.com
30 junio - 1 julio 2005	Teruel (España)	VII Reunión Nacional de Electrocerámica	www.secv.es secv@icv.csic.es

Ferias y Exposiciones

Fecha	Lugar	Evento	Dirección
17-22 enero 2005	München, Messegelände (Alemania)	BAU 2005	info@bau-muenchen.de www.bau-muenchen.de
24-27 mayo 2005	Shanghai (P. R. China)	Ceramic Marble & Stone China 2005	www.wes-expo.com.cn



El Vidrio
de J. M^a Fernández Navarro

3^a EDICIÓN ACTUALIZADA

Precio: 59,30 euros (iva incluido) · Socios SECV: 25% dto.
Pedidos: Sociedad Española de Cerámica y Vidrio. Tfno. 91 735 58 40/60. E-mail: secv@icv.csic.es
Forma pago: Visa. Cheque nominativo. Transferencia Bancaria: a nombre de Sociedad Española de Cerámica y Vidrio. Banco Santander Central Hispano. Alvaro Muñoz, 2. 28700 S. S. de los Reyes. Madrid. N° 0049 2958 13 291 4259425.

BOLETIN DE LA SOCIEDAD ESPAÑOLA DE
Cerámica y Vidrio

DIRECTORIO DE EMPRESAS

Dirección	Descripción	Empresa
	Materias primas y pastas cerámicas.	Ctra. Valencia-Ademuz k-13 46184 San Antonio de Benagéber (Valencia) Tel. 96 135 01 76 Fax 96 135 05 11
	Colores y esmaltes	c/ Balmes, 27 46940 Manises (Valencia) Tel. 96 154 52 38 Fax 96 153 34 76 e-mail: info@lahuerta.com www.lahuerta.com
	Reactivos. Productos y equipos para laboratorios. Productos químicos semiindustriales. Representante de Gabbielli, Srl.	c/ El Cid nº 6 12006 Castellón (Castellón) Tel. 964 23 99 80 Fax 964 23 99 80 e-mail: deltacpq@teleline.es
	Hornos de fusión (fijos y basculantes), muflas, secaderos, reaprovechamiento energético.	Ctra. Alcora YA-51, 12006, Castellón (España) Tel. +34 964 243 243, Fax +34 964 242 737, www.desintec.net
	Fritas, esmaltes, etc.	Ctra. Castellón, km. 22 12110 Alcora (Castellón) Tel. + 34 964 36 03 25 Fax: + 34 964 36 17 87 e-mail: info@esmaltes.com www.esmaltes.com
	Fritas y esmaltes cerámicos. Colorantes cerámicos. Esmaltes óxidos y colorantes.	Apartado de correos 232 12080 Castellón (Castellón) Tel. 964 50 44 50 Fax 964 50 44 41
	Fritas, esmaltes y colores cerámicos.	CV 20, Km. 8 . 12200 ONDA (Castellón). España. Telf. +34 964 777600 Fax. +34 964 530709 E-mail: fritta@fritta.com www.fritta.com

Dirección	Descripción	Empresa
P. Castellana, 77, 14 28046 Madrid Tel. 91 397 20 84 Fax 91 397 23 65 www.incusa.es	Arenas feldespáticas. Arenas silíceas. Feldespatos potásicos.	INDUSTRIAS DEL CUARZO, S.A. 
Pº Alameda, 17 46010 Valencia Tel. 96 339 32 70 Fax. 96 369 08 50	Zirconios, Rutilo, Colemanitas, Ulexita, Borax Penta, Ácido Bórico, Cuarzo, Feldespatos, Caolín, Carbonato de Bario, Bióx. de Manganeso, Cromita, Alúmina calcinada, espodumeno, wollastonita, bolas de alúmina, óx. de cinc, óxs. metálicos, magnesita, engobe inferior.	MARIO PILATO BLAT, S.A. 
Manel Ferrés, 101, E-08190, Sant Cugat del Vallés (Barcelona) Tel. 93 674 83 39 Fax: 93 675 62 76 info@nabertherm.es www.nabertherm.es	Hornos para: cerámica, vidrio, laboratorio, fundición y tratamiento térmicos.	NABERTHERM IBÉRICA S.L. 
Aviación 44 46940 Manises (Valencia) Tel. 96 154 55 88 Fax 96 153 30 25 admon@prodescoweb.com www.prodescoweb.com	Materias Primas, Refractarios, Esmaltes y colores cerámicos, Máquinas y equipos en general, Suministros para laboratorio, Calcas, conos de fusión, serigrafía, vehículos, tintas serigráficas, vitrificables alta y baja temperatura, 3º fuego.	PRODESCO, S.A. 
San Roque 15 12004 Castellón (Castellón) Tel. 964 34 26 26 Fax 964 21 36 97	Nefteline syenite, óxidos de tierras raras, óxidos metálicos, talcos, alúminas, corindones, carbonatos, nitrato, dolomitas, tripolifosfato sódico, silicatos, caolines, cuarzo, políglcolos metvanadatos, sulfatos, etc	QUOX QUIMIALMEL S.A. 
Ctra. Luchancha-Asua, 24 48950 ASUA (Vizcaya) Tel. 94 453 15 63 Fax 94 471 04 45 reyma@reyma.com	Hornos de colada continua para esmaltes cerámicos, hornos de fritas (ingeniería y revestimiento) "llave en mano", material refractario para fritas, aislamientos especiales WDS.	REYMA MATERIALES REFRACTARIOS, S.A. 
Trinquete, 27 - 46940 Manises (Valencia) Tel. + 34 96 154 51 00 Fax: +34 96 154 75 00	Pastas y materias primas cerámicas	VICAR, S.A. 
Camino de Aldaya, 6 46940 Manises (Valencia) Tel. + 34 961 54 54 58 Fax: + 34 961 53 38 24	Materias primas y pastas cerámicas	VICENTE DÍEZ, S.L. 

**WEB ACTUALIZADA
CON LAS ÚLTIMAS
NOTICIAS E
INFORMACIONES
ACERCA DE
LA SOCIEDAD
ESPAÑOLA DE
CERÁMICA Y VIDRIO**

www.secv.es



A screenshot of a computer screen displaying the website of the Sociedad Española de Cerámica y Vidrio (SECV). The page features a header with the organization's name in Spanish and English, along with a logo. Below the header is a navigation menu with various links. On the right side of the page, there is a large graphic element consisting of a stylized profile of a person's head facing left, set against a black background with white triangular patterns. At the bottom of this graphic, there is contact information for the Centro Cultural del Ferrocarril.

www.secv.es

La **nueva web**, con una nueva estructuración y diseño, ofrece en sus secciones información actualizada sobre los congresos organizados, programaciones y resúmenes científicos presentados, permite la descarga de los boletines publicados así como el acceso on-line a la solicitud de afiliación.



Congresos Anuales de la SECV		
congresos		
Asistencia	10	
Último año: 1997-98	12	
Organigramas	7	
Becas	14	
Publicaciones	28	
Congresos Anuales de la SECV		
Congresos Información organizadas por la SECV		
Exposiciones		
Publicaciones	10	
Rel. Institucionales	4	
Presentes Atas de Ses.	12	
Artículos en prensa	14	
SOCIEDAD ESPAÑOLA DE CERÁMICA Y VIDRIO		
1997	CONGRESO DE CERÁMICA	LUGAR Y FECHAS
	SEVILLA 07-08-1997 CERAMICOS	Sevilla, 26-28 Sept. 1997
1	SEVILLA 07-08-1997 CERAMICOS	Sevilla, 2-3 Octubre 1997
2	SEVILLA 07-08-1997 CERAMICOS	Sevilla, 1-2 Octubre 1997
3	SEVILLA 07-08-1997 CERAMICOS	Sevilla, 1-2 Octubre 1997
4	SEVILLA 07-08-1997 CERAMICOS	Sevilla, 1-2 Octubre 1997
5	SEVILLA 07-08-1997 CERAMICOS	Sevilla, 14-16 Oct. 1998
CONGRESO DE VIDRIO		
	Con los establecimientos de la Facultad de Ciencias Químicas de la Universidad de Sevilla y el Instituto de Minas de Huelva	Sevilla, 11-12 Sept. 1997
6	CONGRESO DE VIDRIO	Con los establecimientos de la Facultad de Ciencias Químicas de la Universidad de Sevilla y el Instituto de Minas de Huelva
7	CONGRESO DE VIDRIO	Con los establecimientos de la Universidad de Zaragoza y el Instituto de Minas de Huelva
8	CONGRESO DE VIDRIO	Zaragoza, 21-23 Sept. 1998
9	CONGRESO DE VIDRIO	Con los establecimientos de la Universidad de Granada, Instituto Espanhol de Vidrio
10	CONGRESO DE VIDRIO	Con los establecimientos de la Universidad de Granada, Instituto Espanhol de Vidrio

VISITE LA PÁGINA WEB DE LA SOCIEDAD ESPAÑOLA DE CERÁMICA Y VIDRIO EN [HTTP://WWW.SECV.ES](http://www.secv.es)

BOLETIN DE LA SOCIEDAD ESPAÑOLA DE
Cerámica y Vidrio
INDICE ANUAL

Bol. Soc. Esp. Ceram. V., 43 [1] (2004)

- Cambios en las propiedades luminiscentes de un feldespato potásico inducidos por efecto térmico y exposición a infrarrojo
V. Correcher y J. García-Guinea 5
- Estudio de las propiedades ópticas de recubrimientos Sol-Gel dopados con fluoresceína en función de la concentración y del pH
E.F. Montero, M. A. García, M. A. Villegas, J. Llopis 8
- Estudio del proceso de sinterización reactiva en sistemas con dolomita mediante termodifratometría de neutrones
A. H. de Aza, X. Túrrillas, J. L. Rodríguez, P. Peña 12
- Estudio del campo primario del Al_2O_3 en el sistema cuaternario $\text{Al}_2\text{O}_3\text{-CaO-MgO-SiO}_2$
B. Vázquez, A. Caballero, P. Peña 16
- Estudio mediante afm de estructuras de silicalita para la separación de gases
P. Prádanos, L. Palacio, A. Hernández, M. Vilaseca, J. Coronas, J. Santa-maría 19
- Determinación de la composición de fases en circonia mediante un procedimiento polimórfico simple
A. Hernández-Jiménez, F. Sánchez-Bajo, A.L. Ortiz, F.L. Cumbra..... 23
- Observación de deshidrataciones y contracciones de una arcilla por difracción de rayos x y microscopía electrónica a temperatura y humedad controladas
J. García-Guinea, F. Pitalua, V. Correcher, P. López-Arce 26
- Piezocerámicas de niobato de sodio y litio preparadas por métodos asistidos de activación mecanoquímica
L.Pardo, B. Jiménez, T. Hungria, A. Moure, A. Castro 30
- Funcionamiento de una membrana de zeolita 4-A comercial en la deshidratación de disolventes industriales mediante pervaporación
A.M. Urtiaga, E.D. Gorri, C. Casado, I. Ortiz 35
- Caracterización estructural y electroquímica de una membrana compuesta de TiO_2 y de su soporte poroso basado en arcillas naturales
H. El Kinani, L. Yahyaoui-Azami, M. Rafiq, E. Rodriguez-Castellón, J. Benavente 38
- Calor específico a bajas temperaturas de alcoholes sólidos vítreos y cristalinos
C. Talón, M. A. Ramos, S. Vieira 42
- Efecto de la nitruración en la degradación hidrotérmica de circonia tetragonal policristalina estabilizada con Y_2O_3
A. Feder, L. Llanes y M. Anglada 47
- Modificación química del precursor de titanio para obtener soles estables de silice – titania: uso de acetilacetona
J. E. Rodríguez-Pérez, A. Mafla, G. Andrade, A. Durán 53
- Incidencia de la radiación microondas en la cristalinidad de materiales laminares
P. Benito, F.M. Labajos, V. Rives 56
- Aplicación de un material vitrocerámico a la biorremediación de metales pesados
A. M. García, J. M. Villora, D. A. Moreno, C. Ranninger, P. Callejas, M. F. Barba 59
- Cristalización de vidrios ricos en sílice preparados mediante sol-gel en el sistema alúmina-circonia-sílice
M. Popa, J. M. Calderón-Moreno 63
- Conductividad eléctrica y difusión de oxígeno en el sistema Bifेवox
V. Peña, A. Rivera, J. García-Barriocanal, C. León, J. Santamaría, E. García-González, J. M. González-Calbet 67

Espumado de mezclas de silicato de sodio-wollastonita por microondas
G. Vargas, F. Vázquez, J. López, J. Méndez, M. Méndez, P. Peña 71

Influencia del procesamiento de materiales cerámicos en su comportamiento como adsorbente de iones en aguas industriales
J. M. Villora, P. Callejas, M. F. Barba 75

Ánalisis microestructural por DRX de CaO obtenido a partir de carbonato cálcico molido (CCM)
J. Bastida, C. Bolós, P. Pardo, F. J. Serrano 80

La industria cerámica española, ¿ante un cambio de ciclo?
E. Criado, E. Sanchez, M. Regueiro 85

Bol. Soc. Esp. Ceram. V., 43 [2] (2004)

Propiedades termoluminiscentes de una albita de minas Geraes (Brasil)
J. García-Guinea, J. F. Pitalua, V. Correcher, L. Sanchez-Muñoz, F. J. Valle-Fuentes, P. Lopez-Arce 115

No linealidad del comportamiento elástico de las cerámicas piezoelectrivas
A. Albareda, R. Pérez, J.E. García, J.A. Casals, M. Udina 119

Optimización de espinelas $\text{LiCo}_{y}\text{Mn}_{2-y}\text{O}_4$ para electrodos positivos de baterías recargables de ion-litio mediante ajuste del dopado y de la temperatura de síntesis
J.M. Amarilla, R.M. Rojas, M.L. Pérez-Revenga, M. G. Lazarraga, S. Mandal, J.M. Rojo 127

Influencia de la adición de galio en las propiedades estructurales y texturales de óxidos de Mn y Al
E. Fernández, P. Sánchez, M. Panizza, V. Sánchez, J. M. Gallardo-Amores, G. Busca, E. Tejedor, C. Resini 132

Comportamiento de mullitas a alta temperatura: Estudio mediante Difracción de Rayos X
M.P. Villar, L. Gago-Dupont, R. García 135

Nuevos avances en la formación de fases interestratificadas durante el proceso de deshidratación-rehidratación de vermiculitas-Mg: Influencia de la presión de vacío, temperatura y composición
C. Marcos, A. Ruiz-Conde, A. Argüelles, P. J. Sánchez-Soto, A. García, J.A. Blanco 138

Birnesitas obtenidas mediante cambio iónico. Evolución estructural con la calcinación
V. Rives, M. Del Arco, O. Prieto 142

Materiales con propiedades tecnológicas obtenidos por modificación química de un caolín natural
C. Belver, M.A. Bañares, M.A. Vicente 148

Influencia de la fase sigma en la laminación en frío de los aceros inoxidables dúplex
G. Fargas, A. Mateo, M. Anglada 155

Influencia de la relación Ti/N sobre la resistencia a la deformación en caliente y sobre la recristalización estática en aceros estructurales
M. I. Vega, S.F. Medina, A. Quispe, M. Gómez 159

Mejora del proceso de forja mediante la aplicación de nitruración a alta presión y la introducción de una lubricación ecológica
J. Barriga, A. Igartua, M. Marín, J.L. Romero, I. Gordoa, A. Monclús, D. Planell 163

Mecanismos de fricción en la estampación de chapas electrocincadas para automóviles
A. C. Carcel, C. Ferrer, M. A. Perez 168

Obtención de microestructuras de grano ultrafino en aleaciones de aluminio mediante extrusión en canal angular (ECAE)
J. Alkorta, C. García-Rosales, J. Gil 172

ÍNDICE DE ARTÍCULOS

- Modificación de las texturas y de los índices de embutibilidad de chapas de aleaciones de aluminio Al 1050 y Al-Mg 5754 mediante laminación asimétrica
M. García de Lomana, A. Rodríguez, J. Tamayo, C. Zubillaga, C. García-Rosales, J. Gil 175
- Modelo paramétrico de la Fuerza de corte para el torneado de la aleación AA2024
J. M. Sánchez, M. Marcos, M. Á. Sebastián, M. Sánchez, J. M. González 179
- Uniones híbridas estructurales con adhesivo cianoacrilato
S. Gómez, J. Oñoro, J.P. Pecharromán 182
- Evolución de la precipitación inducida por la deformación en aceros microaleados con Nb y V, e influencia sobre las propiedades mecánicas
A. Quispe, S. F. Medina, P. Valles, M. Gómez 186
- Influencia de la composición química en la resistencia a la corrosión por picadura de los aceros inoxidables
E. Otero, M.V. Utrilla, A. Ureña, C.J. Múñez 190
- Comportamiento frente a la corrosión de los aceros inoxidables AISI 430L P/M.
F.A. Corpas, F.J. Iglesias, J.M. Ruiz, S. Codina, J.M. Ruiz, V. García 193
- Influencia de la composición y las condiciones de procesado en la resistencia a la corrosión de materiales compuestos base aluminio
A. Jiménez-Morales, E. M. Ruiz-Navas, J. B. Fogagnolo, J. M. Torralba 196
- Análisis de la resistencia a la corrosión de barras corrugadas de acero inoxidable en medios acuosos que simulan el hormigón
F.J. Belzunce, C. Rodríguez, H. Castro 200
- Aplicación del MDN al estudio de la corrosión de los convertidores Peirce - Smith
L. F. Verdeja, R. Parra, R. Parada, A. Alfonso, C. Marcos, C. Goñi, M. F. Barbés 203
- Aplicación de la Desviación Absoluta de la Mediana (DAM) al análisis de Ruido Electroquímico
A. Aballe, M. Bethencourt, F.J. Botana, J.M. Sánchez-Amaya, M. Marcos 206
- Comportamiento anticorrosivo de pinturas de base agua aplicadas en aceros
M. Bethencourt, F.J. Botana, M.J. Cano, R.M. Osuna, M. Marcos 209
- Estudio de la corrosión del cobre por vapores de ácido acético al 40 y 80 % de humedad relativa
E. Cano, J. Simancas, L. Narváez, J. M. Bastidas 212
- Degrado atmosférico de un recubrimiento de pintura intumesciente
B. Chico, A. López-Delgado, M. Á. Lobo, D. de la Fuente, J. G. Castaño, F. A. López, M. Morcillo 216
- Oxidación electroquímica de plata y cobre en medio acuoso básico y en hidróxidos fundidos
E. M. Tejada-Rosales, N. Casañ-Pastor, P. Gómez-Romero 220
- Influencia de la sobremaduración en las propiedades mecánicas y comportamiento a corrosión bajo tensión de una aleación de aluminio 7075 T6
J. M. Badía, J. M. Antoranz, P. Tarín, C. López del Castillo, A. G. Simón, N. M. Piris 224
- Aplicación del mecanismo de movilidad superficial a la corrosión bajo tensión de materiales H.C.P. en soluciones de yodo
S.B. Farina, G.S. Duffí, J.R. Galvele 230
- Mecanismos de corrosión en materiales compuestos de matriz de aluminio con refuerzo de SiC
A. Ureña, E. Otero, M.V. Utrilla, P. Rodrigo 233
- Cinéticas de transformación de fases a 850 °C de aceros inoxidables dúplex clásicos (2205 y 2507) y de uno nuevo con bajo contenido en níquel y alto en manganeso (DBNi)
M. P. Rodríguez, J. F. Almagro, J. Botella, P. Valerga 237
- Comparación de la microestructura y propiedades de impacto de dos materiales compuestos laminados de acero de ultraalto contenido de carbono
M. Pozuelo, F. Carreño, Ó. A. Ruano 243

ÍNDICE DE ARTÍCULOS

- Soldabilidad de las fundiciones de grafito esferoidal (análisis mediante un diseño factorial a dos niveles)
J. Cembreiro, M. Pascual, M. Perales, J. Moreno 247
- Estudio mediante difracción de Rayos-X de las tensiones residuales generadas por diferentes tipos de mecanizado
V. García, N. Ordás, M.L. Penalva, J. Fernández, K. Ostolaza, C. García-Rosales 251
- Investigación de la interacción matriz/refuerzo en materiales compuestos AA6061/partículas Ti-Al mediante análisis de imagen
N. Martínez, D. Busquets, V. Amigó, M. Salvador Moyá, C. Ferrer 255
- Sinterización de nuevos materiales compuestos de SiC aglomerados con fosfatos para la fabricación de muelas abrasivas
R.F. Silva, H.H. Berlinov 259
- Estudio de las intercaras acero rápido-fundición nodular generadas en procesos de moldeo por doble colada centrífugada
I. Fernández Pariente, A. Ziadi, F.J. Belzunce Varela 263
- Caracterización de las transformaciones $\alpha \leftrightarrow \beta$ de la aleación Ti-6Al-4V y de las características mecánicas y microestructurales obtenidas
P. Tarín, A. G. Simón, N. M. Piris, J. M. Badía, J. M. Antoranz 267
- Estimación del límite de fatiga de carburos cementados WC-Co en el marco de la mecánica de la fractura elástica lineal
Y. Torres, M. Anglada, L. Llanes 273
- Mecanismos de fractura y comportamiento a fatiga en uniones híbridas adhesivo-mecánicas
J. Durán, R. García, C.M. Durán, J.M. Amo, J. Oñoro 277
- Influencia del nivel de deformación previa en el comportamiento a fatiga de metales dúctiles para embutición
C. Gómez, J. L. Núñez, E. Fullola 282
- Estudio de la sensibilidad a la velocidad de deformación en régimen superplástico del inconel 718 mediante ensayos con perturbación cíclica de la velocidad de deformación
M. Urdanilleta, C. Zubillaga, J. Gil 286
- Caracterización de la aleación 2014 reforzada con intermetalicos
L.E.G. Cambronero, J.D. Herranz, J.M. Ruiz-Roman, J.M. Ruiz-Prieto 291
- Influencia de la microestructura en el comportamiento en fatiga de aceros perlíticos
M. Toledano, R. Rodríguez, S. Fernández 294
- Comportamiento frente al desgaste en materiales compuestos de aluminio reforzados con partículas cerámicas
D. Busquets-Mataix, N. Martínez, V. Amigó, M.D. Salvador, C. Ferrer 299
- Propiedades mecánicas y tribológicas del material antifricción Al-Ni-grafito obtenido mediante extrusión en caliente
L.E.G. Cambronero, R. Rosell, J.M. Ruiz-Román, JM Ruiz-Prieto 304
- Características de los recubrimientos $\text{Cr}_3\text{C}_2\text{-NiCr}$ en función del sistema de proyección térmica
V. Higuera, F.J. Belzunce, J.A. Carriles 307
- Comportamiento tribológico de los recubrimientos nanocrystalinos de CrC-NiCr obtenidos por proyección térmica HVOF
A. Igartua, G. Mendoza, A. Forn, J.A. Picas 311
- Estudio por GXRD de la formación de fases en metales de los grupos IV y V por implantación iónica de nitrógeno
J. A. García, J. Rius, R.J. Rodríguez 315
- Microestructura y propiedades de capas de tribaloy T-800 depositadas mediante plaqueado láser 319
- C. Navas, M. Cadenas, J.M. Cuetos, L. Vega, J. de Damborenea*
- Indentación por impacto de baja energía: modelo completo
O. Jiménez, M. Sánchez-Soto, O. O. Santana, M. LL. Maspoch, A. Gordillo, J.I. Velasco, A.B. Martinez 324
- Películas fluorescentes azules basadas en derivados de poli-2,7-fluorenofenilideno
R. Mallavia, D. Martínez-Peréz, B.F. Chmelka, G.C. Bazan 327

- Obtención de nuevos materiales híbridos orgánico-inorgánicos fotosensibles utilizables como láseres de colorante en estado sólido
O. García, A. Costela, I. García-Moreno, C. Gómez, R. Sastre.....331
- Estudio de la modificación de la microestructura de polímeros porosos por metalización mediante STM y AFM
G. Arranz, L. Palacio, P. Prádanos, A. Hernández.....337
- Caracterización de la heterogeneidad estructural en polipropileno polimórfico mediante espectroscopía vibracional: microscopía IR y Raman
G. Ellis, C. Marco, M.A. Gómez, C. Blancas.....340
- Diseño de nuevos materiales fotovoltaicos de banda intermedia
C. Tablero, P. Wahnón, P. Palacios, J.J. Fernández.....345
- Estudio de la reacción de sulfurización de precursores Cu/In para la formación de capas delgadas policristalinas de CuInS₂ para células solares
B. Barcones, J. Álvarez-García, L. Calvo-Barrio, A. Pérez-Rodríguez, A. Romano-Rodríguez, J. R. Morante, R. SCheer, R. Klenk, Ch. Pietzker.....348
- Métodos de reducción del tiempo de proceso y mejora estructural de capas de SiGe obtenidas por cristalización en fase sólida
A. Rodríguez, T. Rodríguez, J. Sangrador, C. Ballesteros.....352
- Análisis de las dependencias composicionales de las propiedades ópticas de láminas semiconductoras amorfas del sistema As-S-Se
J.M. González-Leal, R. Prieto-Alcón, J.A. Ángel, R. Jiménez-Garay, E. Márquez.....357
- Estudio por microscopía electrónica y espectroscopía de infra-rojos de capas de SiC obtenidas mediante carburización de obleas de Si
F. M. Morales, J. Ramírez, C. Fernández, L. Barbadillo, J. Piqueras, D. Araújo, S. I. Molina, R. García.....363
- Procesamiento químico de interfasas semiconductoras tipo CuInS₂/Buffer para células solares de lámina delgada
A.M. Chaparro, M.T. Gutiérrez, J. Herrero.....367
- Evaporación de Cu(In,Ga)Se₂ en lámina delgada para aplicaciones fotovoltaicas
R. Caballero, C. Guillén.....370
- Estudio de capas de desacople de InGaAs/GaAs(001) por crecimiento combinado de MBE-ALMBE en forma dinámica y escalonada
M. Herrera, D. González, M. U. González, Y. González, L. González, R. García.....373
- Inhibición de la relajación plástica en heteroestructuras InGaAs/GaAs(001) crecidas a baja temperatura
M. Herrera, D. González, M. U. González, Y. González, L. González, R. García.....376
- Procesos de oxidación de Si mediante plasma de resonancia ciclotrónica de electrones
E. San Andrés, A. del Prado, A. J. Blázquez, I. Martíl, G. González-Díaz.....379
- Estudio de puentes catalíticas en sensores de gas en tecnología de SiC
O. Casals, M. Haffar, B. Barcones, A. Romano, C. Serre, A. Pérez, J.R. Morante, P. Godignon, J. Montserrat, J. Millán.....383
- Capas de SiGe policristalino hidrogenado y su aplicación en transistores de película delgada
A. Rodríguez, T. Rodríguez, J. Sangrador, E. San Andrés, I. Martíl.....386
- Nanocristales de silicio en matriz de SiO₂ para aplicaciones fotónicas
R. Ferré, B. Garrido, P. Pellegrino, C. García, J.R. Morante.....390
- Ánalysis estadístico del comportamiento de un termoplástico reforzado con fibra de vidrio ante secuenciación de daño
M. A. García, A. Argüelles, A. Fernández Canteli, L. Chacón, J. Viña ..394
- Estudio de la protección del refuerzo de partículas de SiC mediante barreras activas por sol-gel en materiales compuestos de matriz de aluminio
A. Ureña, J. Rams, M. D. Escalera, M. Campo.....397
- Fabricación y caracterización mecánica de un material compuesto de matriz polimérica y carga cerámica
A. Arias, R. Zaera, J. López-Puente, C. Navarro.....401

- Influencia del grado de refuerzo y de la composición de la matriz en la resistencia a la corrosión de materiales compuestos de matriz de aluminio (A3xx.x/SiC) en 80% humedad relativa (HR)
A. Pardo, M.C. Merino, S. Merino, M.D. López, M.D. Escalera, F. Viejo406
- Interacción entre el aluminio fundido y las fibras de carbono recubiertas con cobre y con níquel en materiales compuestos de matriz metálica
A. Ureña, J. Rams, M.D. Escalera, M. Sánchez409
- Ensayo sobre endurecimiento de adhesivos estructurales sometidos a cargas dinámicas
A. Recuero, J. P. Gutiérrez, C. López, A. de Diego413
- Desarrollo de materiales compuestos tipo Cermet de matriz Fe
E. Gordo, A. Oliva, E.M. Ruiz-Navas, J.M. Torralba416
- Evaluación del comportamiento mecánico de compuestos PEI – fibra de vidrio ante solicitudes térmicas
L. Chacón, J. Viña, A. Argüelles, R. Zenasni, I. Viña420
- Influencia del envejecimiento higrotérmico en el comportamiento a fractura de compuestos de matriz termoplástica
R. Zenasni, A.S. Bachir, M.A. García, J. Riba, A. Argüelles, J. Viña423
- Preparación de un nuevo material híbrido orgánico/inorgánico mediante la intercalación de colina en bronce de molibdeno
P. Benito, F.M. Labajos, P. Moreno, W. Jones426
- Materiales híbridos basados en fosfato de vanadio y polímeros conductores como cátodos en baterías reversibles de litio
A.K. Cuentas-Gallegos, R. Vijayaraghavan, M. Lira-Cantú, N. Casañ-Pastor, P. Gómez-Romero429
- Comportamiento a fractura de la aleación 6061 reforzada con alúmina
A. Forn, M.ª T. Baile, E. Rupérez, E. Martín, A. Rapoport434
- Degrado de los módulos elásticos transversal y de cortadura en materiales compuestos con refuerzo de fibra continua de carbono sometidos a fatiga
D. Revuelta, A. Recuero438
- Modelización y monitorización de procesos de refisión láser de recubrimientos depositados por plasma
J. M. Amado, C. Álvarez, G. Nicolás, A. J. López, J. A. Pérez, A. Ramil, E. Saavedra, J. Sanesteban, M. J. Tobar, A. Yáñez441
- Propiedades dieléctricas de láminas delgadas de (Pb,Ca)TiO₃ con alto contenido de Ca
J. Mendiola, R. Jiménez, P. Ramos¹, C. Alemany, M.L. Calzada, E. Maurer445
- Crecimiento de películas delgadas de membranas de conducción iónica mediante la técnica PIMOCVD
G. García, J. Caro, J. Santiso, J. Á. Pardo, A. Figueras, A. Abrutis448
- Cuarzo KU1 de alta resistencia a la radiación
P. Martín, A. Moroño, E.R. Hodgson452
- Recubrimientos antirreflectantes de sílice sobre vidrio producidos por sol-gel
A. Morales, M.C. Bautista, D. Cáceres455
- Determinación de las constantes ópticas y el espesor de materiales holográficos
A. Beléndez, M. Ortuño, S. Gallego, T. Beléndez, C. Neipp, I. Pascual457
- Nuevo método de caracterización geométrica y óptica de láminas delgadas dieléctricas con rugosidad superficial
J.M. González-Leal, M. Stuchlik, C. Morant, J.M. Sanz, E. Márquez461
- Estudio de cromóforos orgánicos con propiedades ópticas no lineales
P. Acebal, S. Blaya, L. Carretero467
- Estructura de bicapas Mo/CuInSe₂ para células solares de lámina delgada
C. Guillén, J. Herrero470
- Si₃N₄ recubierto con diamante CVD mediante filamento caliente y plasma generado por microondas
A. Tallaire, F.J. Oliveira, A.J.S. Fernandes, F.M. Costa, M. Belmonte, R.F. Silva473

ÍNDICE DE ARTÍCULOS

ÍNDICE DE ARTÍCULOS

Influencia del tratamiento térmico sobre el espesor y porosidad de películas delgadas de ZrO ₂ obtenidas por la ruta sol-gel <i>A. Díaz-Parralejo, F. Guiberteau, R. Caruso</i>	477	Grafito isotrópico obtenido a partir de coque para aplicaciones en automoción <i>J. Oñoro, F.J. Mielgo, C. Ranninger, J. Casanova</i>	550
Determinación de la estructura molecular de geles mediante cálculos computacionales <i>M. A. Díaz-Díez, A. Macías-García, G. Silvero, R. Gordillo, R. Caruso</i>	480	Evaluación de la tenacidad en el hormigón proyectado reforzado con fibras poliméricas de alto módulo <i>T. García, L. Agulló, A. Aguado, G. Canals</i>	552
Tribología de recubrimientos Cermet/NiCrBSi depositados mediante HVOF <i>J.M. Guilemany, J. Nin, C. Lorenzana, J. M. Miguel, J.R. Miguel</i>	483	Verificación de las propiedades reológicas del hormigón sin vibrado <i>E. Gallo, D. Revuelta</i>	556
Depósito de TiN sobre herramientas de corte para uso industrial <i>M.A. Auger, O. Sánchez, J.M. Albella</i>	488	Influencia del diámetro de la barra y del recubrimiento en las características adherentes del hormigón armado <i>M. Molina, J. P. Gutiérrez, M. D. García</i>	560
Efecto del argón en películas CN _x H _y depositadas mediante ECR-CVD <i>M. Camero, R. Gago, C. Gómez-Aleixandre, J. M Albella</i>	491	Efecto de la aplicación de campos eléctricos sobre las interacciones entre los iones cloruro y la matriz de cemento <i>M. Castellote, C. Andrade, C. Alonso</i>	565
Estudio de las propiedades mecánicas y tribológicas de recubrimientos mult capa de espaciado sub-micrométrico <i>R.J. Rodríguez, A. Medrano, M. Rico, B. Lerga, R. Martínez, R. Bueno, J. A. García</i>	494	Estudio y optimización de los parámetros de reacción para la obtención de material geopolimérico <i>I. Beleña, M.J.L. Tendero, E. M. Tamayo, D. Vie</i>	569
Campo interfacial de tensiones generado por una red biperiódica hexagonal de dislocaciones en un bicristal delgado de InAs / (III) Ga As <i>T.Outtas, S.Madani, L. Adam, R.Bonnet</i>	497	Influencia del tratamiento HIP en la distribución de los carburos en prótesis Co-Cr-Mo <i>V. Amigó, A. Vicente, F. Romero, Y.A. Paolini</i>	573
Conformado por vía coloidal de recubrimientos en la cara interna de un tubo de acero <i>B.Ferrari, J. L. Rodríguez, E. Rojas, R. Moreno</i>	501	Caracterización de la fábrica de ladrillo del Palacio del Infante Don Luis, Boadilla del Monte, Madrid <i>R. Fort, M. Alvarez de Buergo, M.C. López de Azcona, F. Mingarro, M.J. Varas, J. Soriano</i>	578
Desarrollo de filtros interferenciales para emisores fotoluminiscentes basados en silicio poroso <i>V.Torres, R.J. Martín, S. Manotas, F. Agulló, J. Martínez</i>	506	Evaluacion del comportamiento a largo plazo de hormigones en almacenamientos de residuos radiactivos de alta actividad <i>A.Hidalgo , L. Fernandez, S. Petit, C. Andrade, C. Alonso</i>	584
Evolución de la morfología y facetaje de nanoestructuras de SnO ₂ crecidas por pirólisis en fase aerosol sobre sustratos de vidrio <i>E. Rossinyol, J. Arbiol, F. Peiró, A. Cornet, J. R. Morante, V. Brinzari, G. Korotcenkov, V. Golovanov</i>	510	Fortalezas y debilidades de los inventarios de cementos para su empleo en análisis de ciclo de vida (ACV) <i>A. Aguado, A. Josa, A. Cardim</i>	587
Organobentonita como sustituto de negro de carbono en formulaciones de caucho <i>M. A. López, M. Arroyo, B. Herrero, R. Vicente</i>	514	Tratamiento térmico de materiales en el Horno Solar de la PSA: líneas actuales de actividad <i>I. Cañadas, D. Martínez, J. Rodríguez</i>	591
Morfología de los óxidos superficiales en los recubrimientos convencionales y nanocrystalinos de NiCrAlY sometidos a alta temperatura <i>J.A. Picas, A. Forn, L. Ajdelsztajn, J. Schoenung</i>	518	Bol. Soc. Esp. Ceram. V, 43 [3] (2004)	
Fluencia a alta temperatura de policristales con tamaño de grano nanométrico de YTZP dopados con diferentes cantidades de fase vítreo <i>C. Lorenzo-Martín, D. Gómez-García, A. Muñoz-Bernabé, A. Domínguez-Rodríguez</i>	521	Influencia de algunas variables del proceso sol-gel en las propiedades texturales y estructurales de un soporte de NiAl ₂ O ₄ <i>A. Almanza, J. S. Valencia</i>	615
Cambios inducidos en nanotubos de carbono de capa única durante los procesos de purificación <i>M T Martínez, M A Callejas, A M Benito, M Cochett, T Seeger, A. Ansón, J. Schreiber, C Gordon, C Marhic, O Chauvet, W.K. Maser</i>	524	PbTiO ₃ modificado con Ca: de la cerámica a la lámina <i>J. Mendiola, C. Alemany, R. Jiménez, E. Maurer, M.L. Calzada</i>	620
Síntesis y caracterización de composites de TPOS reforzados con nanotubos de carbono <i>J. Biagiotti, L. Valentini, J. M. Kenny, M. A. López Manchado, M. Arroyo</i>	527	Cerámicas magnetorresistivas. Progresos recientes: desde el entendimiento básico a las aplicaciones. <i>J. Fontcuberta, Ll. Balcells, J. Navarro, D. Rubí, B. Martínez, C. Frontera, M. Lacaba, A.M. González, C. Forniés, A. Calleja, LL. Aragónès</i>	627
Dependencia térmica del proceso de inversión de la imanación en microhilos magnéticos biestables <i>M. Vázquez, A.P. Zhukov, K.L. García, K.R. Pirota, R. Varga, J.L. Martínez</i>	532	Nueva Generación de Materiales LTCC <i>Matjaz Valant, Danilo Suvorov</i>	634
Conductividad eléctrica en corriente alterna de materiales cerámicos aurivillius de composición Pb _x Bi ₄ Ti _{3+x} O _{12+3x} , x=0,1,2 y 3 <i>L. Lascano, A. C. Caballero, M. Villegas, C. Moure, J. F. Fernández</i>	536	Materiales conductores mixtos para la oxidación parcial de hidrocarburos <i>J.R.Frade, V.V.Khartonx, A.A.Yaremchenko, E.V.Tsipis, A.L.Shaula, E.N.Naumovich, A.V.Kovalevsky, F.M.B.Marques</i>	640
Dependencia con la temperatura de las propiedades eléctricas, mecánicas y electromecánicas de nuevas piezocerámicas de alta sensibilidad <i>M. Algueró, B. Jiménez, C. Alemany, L. Pardo</i>	540	Fotoluminiscencia del PbTiO ₃ en estado amorfo analizada por métodos ab-initio periódicos <i>S. R. de Lazaro, E. R. Leite; E. Longo, A. Beltrán</i>	644
Mejora de las propiedades termomecánicas de grafito isotrópico, elaborado a partir de mesofase carbonosa, mediante la adición de carburos <i>N. Ordás, J. Echeberria, M. Balden, S. Lindig, C. García-Rosales</i>	544	Caracterización dieléctrica de la perovskita laminar La _{1-x} Sr _{0.5} CoO ₄ <i>M. P. Gutiérrez, B. Rivas-murias, M. A. Señaris-rodríguez, J. Rivas</i>	649
Materiales carbonosos obtenidos a partir del reciclado de PET <i>J.B. Parra, C.O. Ania, A. Arenillas, F. Rubiera, J.M. Palacios, J.J. Pis</i>	547	Estudio de la adición de K ⁺ y LiNbO ₃ en las propiedades finales del relaxor PMN procesado por mezcla de polvos <i>A.A. Cavalheiro, M.A. Zaghe, M. Cilense, M. Villegas, J. F. Fernández, J. A. Varela</i>	653
Relación entre los comportamientos no lineales dieléctrico y mecánico en cerámicas piezoelectricas de PZT <i>R. Pérez, A. Albareda, J.E. García, J.A. Casals</i>	658	Propiedades magnéticas de las espinelas (Co,Ni,Mn) ₃ O ₄ <i>Yanwei Ma, M. Bahout, O. Peña, P. Durán, C. Moure</i>	663

Aplicación de sensores piezoelectrónicos cerámicos a la caracterización biomecánica <i>J.C. Moreno, J.F. Fernández, P. Ochoa, R. Ceres, L. Calderón, E. Rocon, J.L. Pons</i> 668	Caracterización eléctrica de disoluciones sólidas $(Cr, V, Ti)O_2$ con estructura rutilo <i>S. Sorlí, M. Llusras, J. Calbo, P. Benet, J. A. Badenes, M. A. Tena, G. Monrós</i> 792
Especroscopía de admitancias de banda ancha aplicada al control microestructural de propiedades eléctricas en varistores cerámicos <i>Fernández Hevia, A. C. Caballero, J. de Frutos, J. F. Fernández</i> 674	Nanopartículas aciculares de hierro protegidas frente a la sinterización con óxido de aluminio <i>R. Pozas, M. P. Morales, C. J. Serna, M. Ocaña</i> 796
Síntesis y caracterización del conductor catiónico de sodio $Na_x(M_yL_{1-y})O_2$ ($M = Ni^{2+}, Fe^{3+}; L = Ti^{4+}, Sb^{5+}$) <i>O.A. Smirnova, V.V. Kharton, F.M.B. Marques</i> 679	Cinética de formación del Al_2O_3 en capas de aluminio estudiada mediante mediciones eléctricas <i>T. E. Novelo, O. Ceh, M. A. Pech-Canul, A. I. Oliva</i> 801
Adsorción de oxígeno en sensores de película gruesa de SnO_2 dopados con Pd <i>M.A. Ponce, C.M. Aldao, M.S. Castro</i> 686	Evolución microestructural de capas delgadas de cobre por flujo de corriente eléctrica aplicada <i>P. Quintana, A. I. Oliva, F. Alonso, J. E. Corona, W. Cauich</i> 805
Estudio del mecanismo de compensación de $BaTiO_3$ dopado con La_2O_3 <i>M. Ramajo, E. Brzozowski, M.S. Castro</i> 691	Estudio del Sistema $Li_2SO_4 - Na_2SO_4$. Diagrama de fases y caracterización del $LiNaSO_4$ <i>J. Mata, X. Solans, M. Font-Bardia</i> 810
Interacciones cuadripolares en $SrZrO_3$ <i>A. López-García, R. E. Alonso</i> 695	Respuesta no lineal en láminas delgadas ferroeléctricas <i>M.H. Lente, A.L. Bacichetti, R. G. Mendes, J.A. Eiras</i> 815
Modelización del estator de un motor piezoelectrónico de onda viajera: una revisión integrada y nueva perspectiva <i>H. Rodriguez, R. Ceres, L. Calderon, J.L. Pons</i> 698	Bol. Soc. Esp. Ceram. V., 43 [5] (2004)
Inversión de espín en perovskitas $Gd(Me,Mn)O_3$ ($Me = Co, Ni$) <i>O. Peña, K. Ghanimi, C. Moure, D. Gutiérrez, P. Durán</i> 706	Membranas cerámicas. Tipos, métodos de obtención y caracterización. <i>J.M. Benito, A. Conesa, M.A. Rodríguez</i> 829
Bol. Soc. Esp. Ceram. V., 43 [4] (2004)	Conformado de piezas cerámicas a partir de suspensiones parafínicas cargadas con polvos <i>J.J. Coronel, R. Janssen, N. Claussen</i> 843
Comparación entre sistemas electrocerámicos de desplazamiento mecánico. Motores y actuadores piezoelectrónicos <i>D. Mesonero-Romanos, J.F. Fernández, M. Villegas, R. Ceres, E. Rocon, J.L. Pons</i> 725	Estudio y caracterización de vidriados vitrocerámicos basados en piroxeno <i>F. Lucas, A. Belda, F.J. Torres, J. Alarcón</i> 849
Propiedades magnéticas de la manganita $Y(Cu,Mn)O_3$ sustituida en el sitio del manganeso <i>O. Peña, D. Gutiérrez, P. Durán, C. Moure</i> 732	Resolidificación superficial de eutéticos Al_2O_3 -YSZ asistida por láser <i>R.I. Merino, J.I. Peña, V.M. Orera, A. Larrea, A.J. Sánchez-Herencia</i> 855
Influencia de la sustitución catiónica sobre las propiedades magnéticas de las espinelas $LiCo_xO_4$ y $Li(Me,Co)_xO_4$ <i>O. Peña, V. Bodenez, T. Guizouarn, E. Meza, J.L. Gautier</i> 736	Uso de sistemas bioactivos en la formación de apatita en la superficie de aleaciones base cobalto <i>D.A. Cortés, A. Medina, J.C. Escobedo, S. Escobedo, M.A. López</i> 863
Estudio comparativo de dos métodos de síntesis para la obtención de polvos cerámicos de $ZnO - Pr_2O_3 - CoO$ <i>H. Ávila, A. M. Cruz, M. Villegas, A. C. Caballero, J. E. Rodríguez-Páez</i> 740	Síntesis y sinterización de soluciones sólidas de cromita de lantano obtenidas por el método de coprecipitación en medio alcalino <i>J.C. Rendón-Ángeles, L.M. Valadez-Farías, J.L. Rodríguez-Galicia, J. Méndez-Nonell, J. López-Cuevas</i> 869
Estudio de la región rica en Bi_2O_3 en el sistema binario $ZnO-Bi_2O_3$ <i>M. A. de la Rubia, M. Peiteado, J. F. Fernández, A. C. Caballero</i> 745	Ionoluminiscencia de silicatos de utilización en cerámica a temperaturas criogénicas <i>J. García-Guinea, D. Hole, A. Finch, V. Correcher, F.J. Valle-Fuentes, N. Can, P. D. Townsend</i> 877
Preparación y caracterización de óxidos de cobalto quasi-bidimensionales $Ln_{1-x}Sr_{1+x}CoO_4$ ($Ln = La, Nd$ y Gd) <i>M. Sánchez-Andújar, S. Yáñez, A. Castro, S. Castro-García, M. A. Señaris-Rodríguez</i> 748	Seguimiento por espectroscopía infrarroja (FT-IR) de la copolimerización de TEOS (tetraetilortosilicato) y PDMS (polidimetilsiloxano) en presencia de tbt (tetrabutiltitánio) <i>L. Téllez, F. Rubio, R. Peña-Alonso, J. Rubio</i> 883
Microestructura y propiedades mecánicas de conductores protónicos de alta temperatura crecidos por fusión de zona flotante <i>M.J. López Robledo, A.R. Pinto Cómez, J. Martínez Fernández, A.R. de Arellano López, A. Sayir</i> 753	Bol. Soc. Esp. Ceram. V., 43 [6] (2004)
Movilidad de oxígeno en conductores iónicos $A_xTi_{2-x}Zr_yO_z$ ($A: Y, Gd$) <i>K. J. Moreno, G. Mendoza-Suárez, A. F. Fuentes, J. García-Barriocanal, C. León, J. Santamaría</i> 759	Interferencias en la caracterización de residuos cerámicos mediante el ensayo de inhibición de la luminescencia <i>M.F. Gazulla, M.P. Gómez, E. Monfort, M. Orduña</i> 909
Optimización de un nuevo método de preparación de óxidos mixtos tipo perovskita con vacantes de oxígeno <i>L. Mestres, M. L. Martínez-Sarrion, F. J. Lepe</i> 764	Determinación del coeficiente piroeléctrico del sistema ferroeléctrico cerámico de $Pb_{0.88}Ln_{0.08}Ti_{0.98}Mn_{0.02}O_3$ ($Ln=La, Sm, Eu$) y su aplicación en detectores de infrarrojo <i>R. González-Ballesteros, E. Suaste-Gómez</i> 915
Permeabilidad de oxígeno en membranas cerámicas de $La(Sr,Pr)Ga(Mg)O_{3-\delta}$ con metales de transición. <i>A.A. Yaremchenko, A.L. Shaula, V.V. Kharton, A.V. Kovalevsky, E.N. Naumovich, J.R. Frade, F.M.B. Marques</i> 769	Espectros de emisión de radioluminiscencia y termoluminiscencia de una leucita de Monte Somma (Italia) <i>V. Correcher, F.J. Valle-Fuentes, J. García-Guinea</i> 919
Restricciones para obtener NASICON por una ruta cerámica <i>R.O. Fuentes, D.G. Lamas, M.E. Fernandez de Rapp, F.M. Figueiredo, J.R. Frade, F.M.B. Marques, J.I. Franco</i> 775	Resolidificación con láser de barreras térmicas de circonia depositadas por proyección térmica plasma (APS) <i>J. C. Diez, J. I. Peña, V. M. Orera, M. Sierra</i> 925
Influencia de la síntesis y del grado de dopaje en las propiedades morfológicas, estructurales y electroquímicas de óxidos $LiCo_{1-x}M_xO_2$ ($M = Ni, Al, Mg$) <i>S. Castro-García, M. A. Señaris-Rodríguez, A. Castro-Couceiro, C. Julien</i> 780	Ánalisis del sistema de operaciones en empresas del sector cerámico español <i>B. Segura, E. Vallada, C. Maroto, R. Ruiz</i> 929
Caracterización de Y-PSZ e Y-PSZ dopada con PR obtenida mediante métodos no convencionales para aplicaciones en sofó <i>J.A. Badenes, P. Benet, S. Sorlí, M.A. Tena, G. Monrós</i> 787	Influencia de los reactivos y de las condiciones experimentales en la síntesis carbotérmica de nitruro de silicio <i>M.D. Alcalá, C. Real, J.M. Criado</i> 933

Bol. Soc. Esp. Ceram. V, 43 [1] (2004)

- Variation in the luminescent properties of a potassium rich feldspar induced by thermal treatment and infrared exposure
V. Correcher y J. García-Guinea 5
- Study of optical properties of fluorescein-doped sol-gel coatings as a function of concentration and pH
E.F. Montero, M. A. García, M. A. Villegas, J. Llopis 8
- Study of reaction sintering in dolomite based systems by neutron thermodiffractometry.
A. H. de Aza, X. Turrillas, J. L. Rodríguez, P. Peña 12
- Primary crystallization volume of Al_2O_3 in the quaternary system $\text{Al}_2\text{O}_3\text{-CaO-MgO-SiO}_2$
B. Vázquez, A. Caballero, P. Peña 16
- Study by afm of silicalite structure for gas separation
P. Prádanos, L. Palacio, A. Hernández, M. Vilaseca, J. Coronas, J. Santamaría 19
- Phase composition analysis of zirconia using a simple polymorphic method
A. Hernández-Jiménez, F. Sánchez-Bajo, A.L. Ortiz, F.L. Cumbra 23
- Observation of dehydration and retrenchment effects in a claystone by x-ray diffraction and electron microscopy under control of temperature and relative humidity
J. García-Guinea, F. Pitalua, V. Correcher, P. López-Arce 26
- Sodium-lithium niobate piezoceramics prepared by mechanochemical activation assisted methods
L.Pardo, B. Jiménez, T. Hungria, A. Moure, A. Castro 30
- Behavior of a zeolite 4-A commercial membrane in the dehydration of industrial solvents by pervaporation
A.M. Urtiaga, E.D. Gorri, C. Casado, I. Ortiz 35
- Structural and electrochemical characterisation of a TiO_2 composite membrane and its porous support based in natural clays.
H. El Kinani, L. Yahyaoui-Azami, M. Rafiq, E. Rodriguez-Castellón, J. Benavente 38
- Low-temperature specific heat of glassy and crystalline alcohols.
C. Talón, M. A. Ramos, S. Vieira 42
- Effect of nitridation on hydrothermal aging of Y-TZP
A. Feder, L. Llanes y M. Anglada 47
- Chemical modification of titanium precursor to obtain stable silica-titania sol: acetylacetone.
J. E. Rodríguez-Páez, A. Mafla, G. Andrade, A. Durán 53
- Effect of microwave radiation on the crystallinity of layered materials
P. Benito, F.M. Labajos, V. Rives 56
- Aplication of glassceramic material to the bioremediation of heavy metals
A. M. García, J. M. Villora, D. A. Moreno, C. Ranninger, P. Callejas, M. F. Barba 59
- Crystallization of silica-rich glasses prepared by sol-gel in the system alumina-silica-zirconia
M. Popa, J. M. Calderón-Moreno 63
- Electrical conductivity and oxygen diffusion in Bifevox.
V. Peña, A. Rivera, J. García-Barriocanal, C. León, J. Santamaría, E. García-González, J. M. González-Calbet 67
- Foaming of sodium silicate-wollastonite mixtures by microwaves
G. Vargas, F. Vázquez, J. López, J. Méndez, M. Méndez, P. Peña 71
- Influence of processing on the behaviour of ceramic materials as ion adsorbents in industrial waste waters
J. M. Villora, P. Callejas, M. F. Barba 75
- XRD Microstructural analysis of limes obtained from GCC
J. Bastida, C. Bolós, P. Pardo, F. J. Serrano 80
- The spanish glass and ceramic industry, change of cycle?
E. Criado, E. Sanchez, M. Regueiro 85

Bol. Soc. Esp. Ceram. V, 43 [2] (2004)

- Thermoluminescent properties of an albite from minas Geraes (Brazil)
J. García-Guinea, J., F. Pitalua, V. Correcher, L. Sanchez-Muñoz, F.J.Valle-Fuentes, P. Lopez-Arce 115
- Nonlinear elastic behaviour of piezoelectric ceramics
A. Albareda, R. Pérez, J.E. García, J.A. Casals, M. Udina 119
- Optimization of $\text{LiCo}_{x}\text{Mn}_{2-y}\text{O}_4$ spinel positive electrodes for Li-Ion batteries by adjusting dopant and synthesis temperature
J.M. Amarilla, R.M. Rojas, M.L. Pérez-Revenga, M. G. Lazarraga, S. Mandal, J.M. Rojo 127
- Influence of the Ga^{3+} doping in the textural and structural properties of the Mn and Al oxides
E. Fernández, P. Sánchez, M. Panizza, V. Sánchez, J. M. Gallardo-Amores, G. Busca, E. Tejedor, C. Resini 132
- High-temperature behaviour of mullites: Study by means of X-Ray Diffraction
M.P. Villar, L. Gago-Duport, R. García 135
- New advances in the formation of interstratified phases during the dehydration-rehydration process of vermiculites: influence of vacuum pressure, temperature and composition.
C. Marcos, A. Ruiz-Conde, A. Argüelles, P. J. Sánchez-Soto, A. García, J.A. Blanco 138
- Birnessites prepared by ion exchange. Structural evolution with temperature
V. Rives, M. Del Arco, O. Prieto 142
- Technological materials obtained by chemical modification of kaolin
C. Belver, M.A. Bañares, M.A. Vicente 148
- Influence of the sigma phase in the cold rolling of duplex stainless steels
G. Fargas, A. Mateo, M. Anglada 155
- Influence of the Ti/N ratio on the hot deformation and strength static recrystallisation in structural steels
M. I. Vega, S.F. Medina, A. Quispe, M. Gómez 159
- Improvement of forging processes using high pressure nitriding and ecological lubrication.
J. Barriga, A. Igartua, M. Marín, J.L. Romero, I. Gordoa, A. Monclús, D. Planell 163
- Friction mechanisms during stamping of zinc electrocoated sheets for car body panels
A. C. Carcel, C. Ferrer, M. A. Perez 168
- Obtaining ultra-fine grained (UFG) structures in an aluminium alloy by equal channel angular extrusion (ECAE)
J. Alkorta, C. García-Rosales, J. Gil 172
- Modification of textures and drawability values of sheets of aluminum alloys al 1050 and Al-Mg 5754 by means of asymmetric rolling
M. García de Lomana, A. Rodríguez, J. Tamayo, C. Zubillaga, C. García-Rosales, J. Gil 175
- Cutting Force Parametric Model for Turned AA2024 Alloy Workpieces.
*J. M. Sánchez Sola, M. Marcos, *M. Á. Sebastián, M. Sánchez Carrilero, J. M. González Madrigal* 179
- Structural hybrid joints with cyanoacrylate adhesive
S. Gómez, J. Oñoro, J.P. Pecharromán 182
- Evolution of strain induced precipitation in Nb and V-microalloyed steels and influence on mechanical properties.
A. Quispe, S. F. Medina, P. Valles, M. Gómez 186
- Influence of chemical composition on pitting corrosion resistance of stainless steels.
E. Otero, M.V. Utrilla, A. Ureña, C.J. Múñez 190
- Behavior in different corrosive environments of the AISI 430L stainless steels P/M.
F.A. Corpas, F.J. Iglesias, J.M. Ruiz, S. Codina, J.M. Ruiz Prieto, V. Cambronero 193
- Influence of the composition and processing conditions on the corrosion resistance of aluminium-based composite materials
A. Jiménez-Morales, E.M. Ruiz-Navas, J.B. Fogagnolo, J.M. Torralba 196

- Corrosion resistance of stainless steel reinforced bars in contact with simulated concrete
F.J. Belzunce, C. Rodriguez, H. Castro 200
- Nodal wear model in the corrosion Peirce – Smith copper convertor
L. F. Verdeja, R. Parra, R. Parada, A. Alfonso, C. Marcos, C. Goñi, M^a. F. Barbés 203
- Median absolute deviation (MAD) applied to the analysis of electrochemical noise
A. Aballe, M. Bethencourt, F.J. Botana, J.M. Sánchez-Amaya, M. Marcos 206
- Waterborne paints anticorrosive behaviour on steels
M. Bethencourt, F.J. Botana, M.J. Cano, R.M. Osuna, M. Marcos 209
- Study of copper corrosion by acetic acid vapours at 40 and 80% relative humidities.
E. Cano, J. Simancas, L. Narváez, J. M. Bastidas 212
- Atmospheric degradation of an intumescent paint coating
B. Chico, A. López-Delgado, M^a Á. Lobo, D. de la Fuente, J. G. Castaño, F. A. López, M. Morcillo 216
- Electrochemical Oxidation of Silver and Copper in Aqueous Basic Media and in Fused Hydroxide Electrolytes.
E. M. Tejada-Rosales, N. Casañ-Pastor, P. Gómez-Romero 220
- Influence of overaging on the mechanical properties and stress corrosion cracking behaviour of 7075 T6 aluminium alloy.
J. M. Badía, J. M. Antoranz, P. Tarín, C. López del Castillo Blanco, A. G. Simón, N. M. Piris 224
- Application of the surface-mobility stress corrosion cracking mechanism to h.c.p. metals in iodine solutions
S.B. Farina, G.S. Duffó, J.R. Galvele 230
- Corrosion mechanisms of aluminium- silicon carbide composites
A. Ureña, E. Otero, M.V. Utrilla, P. Rodrigo 233
- Hase transformation kinetics at 850° C of classic duplex stainless steels (2205 y 2507) and a new one with low nickel and higher manganese content (DBNi)
M. P. Rodríguez, J. F. Almagro, J. Botella, P. Valerga 237
- Microstructure and impact properties comparison of two ultrahigh carbon steel laminated composites
M. Pozuelo, F. Carreño, Ó. A. Ruano 243
- Weldability of spheroidal graphite vast Iron (analyse by a two level factorial design)
J. Cembrero, M. Pascual, M. Perales, J. Moreno 247
- Evaluation of the residual stresses generated by different types of machining using X-ray diffraction.....
V. García , N. Ordás, M.L. Penalva, J. Fernández, K. Ostolaza, C. García-Rosales 251
- Image análisis study of matrix reinforcement interaction on AA6061 / Ti-Al particle reinforced composites
N. Martínez Mateos, D. Busquets Mataix, V. Amigó Borrás, M^a D. Salvador Moyá, C. Ferrer Giménez 255
- Sintering of new SiC-Phosphate composite materials for grinding wheels fabrication
R.F.Silva, H.H.Berlinov 259
- Study of the high strength steel- nodular iron interphase developed in bimetallic rolls produced by centrifugal casting
I. Fernández , A. Ziadi, F.J. Belzunce 263
- $\alpha \leftrightarrow \beta$ transformation, mechanical properties and microstructural characterization of Ti-6Al-4V alloy
P. Tarín, A. G. Simón, N. M. Piris, J. M. Badía, J. M. Antoranz 267
- Fatigue limit estimation for WC-Co cemented carbides on the basis of linear elastic fracture mechanics
Y. Torres, M. Anglada, L. Llanes 273
- Fracture mechanisms and fatigue behaviour in hybrid adhesive-mechanic joints
J. Durán, R. García, C.M. Durán, J.M. Amo, J. Oñoro 277
- Influence of the previous strain level in the fatigue behaviour of ductile steel for deep drawing
C. Gómez, J. L. Núñez, E. Fullola 282
- Study of the superplasticity of Inconel 718 using tests with cyclic perturbation of strain rate
M. Urdanilleta, C. Zubillaga, J. Gil 286
- Characterization of 2014 alloy reinforced with intermetallics
L.E.G.Cambronero, J.D. Herranz, J.M.Ruiz-Roman, J.M. Ruiz-Prieto 291
- The influence of microstructure in the fatigue behaviour of pearlitic steels
M. Toledano, R. Rodríguez, S. Fernández 294
- Wear behaviour on ceramic particle reinforced aluminium matrix composites.
D. Busquets, N. Martínez, V. Amigó, M.D. Salvador, C. Ferrer 299
- Mechanical and tribological properties of hot extruded Al-Ni-graphite antifriction material
L.E.G.Cambronero, R.Rosell, J.M.Ruiz-Román, J. M. Ruiz-Prieto 304
- Influence of thermal-spray procedure on the properties of Cr₃C₂-NiCr coating
V.Higuera, F.J. Belzunce, J.A.Carriles 307
- Tribological behaviour of HVOF thermal sprayed nanocrystalline CrC-NiCr coatings
A. Igartua, G. Mendoza, A. Forn, J.A. Picas 311
- GXRD study of phase formation in metals of IV and V groups ion implanted with nitrogen
J. A. García, J. Rius, R.J. Rodríguez 315
- Microstructure and properties of tribaloy T-800 coatings deposited by laser cladding
C. Navas, M. Cadenas, J.M. Cuetos, L. Vega, J. de Damborenea 319
- Low energy impact indentation: a complete model
O. Jiménez, M. Sánchez-Soto, O. O. Santana, M. LL. Maspoch, A. Gordillo, J.I. Velasco, A.B. Martinez 324
- Blue fluorescent films based on poly-2,7-fluorene-phenylene derivatives.
R. Mallavia, D.Martínez-Peréz, B.F. Chmelka, G.C. Bazan 327
- Synthesis of new photosensitive organic-inorganic hybrid materials used as solid state dye laser
O. García, A. Costela, I. García-Moreno, C. Gómez, R. Sastre 331
- Study of the microstructural modification by metallization of porous polymers by STM and AFM
G. Arranz, L. Palacio, P. Prádanos, A. Hernández 337
- Caracterization of structural heterogeneity in polymorphic polypropylene by vibrational spectroscopy: IR and Raman microscopy
G. Ellis, C. Marco, M.A. Gómez, C. Blancas 340
- Design of new photovoltaic materials with intermediate band
C.Tablero, P.Wahnón, P.Palacios, J.J.Fernández 345
- Study of the sulphurisation reaction of CU/IN precursors for thin polycrystalline film CuInS₂ solar cells
B. Barcones, J. Álvarez-García, L. Calvo-, A. Pérez-Rodríguez, A.Romano, J. R. Morante, R. SCheer, R. Klenk, CH. Pietzker 348
- Methods for process time reduction and structural improvement of SiGe films obtained by solid phase crystallization.
A. Rodríguez, T. Rodríguez, J. Sangrador, C. Ballesteros 352
- Analysis of the compositional dependencies of the optical properties of amorphous semiconducting films of the system As-S-Se
J.M. González-Leal, R. Prieto-Alcón, J.A. Ángel, R. Jiménez-Garay, E. Márquez 357
- Transmission electron microscopy study of SiC layers obtained by carbonization of Si wafers
F. M. Morales, J. Ramírez, C. Fernández, L. Barbadillo, J Piqueras, D. Araújo, S. I. Molina, R. García 363
- Chemical processing of semiconducting interfaces of CuInS₂ / buffer type for thin film solar cells.
A.M.Chaparro, M.T.Gutiérrez, J.Herrero 367

Cu(In,Ga)Se ₂ thin films evaporation for photovoltaic applications <i>R. Caballero, C. Guillén</i>	370	Modelling and monitorius of laser refusion processes of coating obtained by plasma <i>J. M. Amado, C. Álvarez, G. Nicolás, A. J. López, J. A. Pérez, A. Ramil, E. Saavedra, J. Sanesteban, M. J. Tobar, A. Yáñez</i>	441
Study of InGaAs/GaAs(001) buffers by combined growth of ALMBE-MBE in dynamic or stepped way <i>M. Herrera, D. González, M. U. González, Y. González, L. González, R. García</i>	373	Dielectric properties of (Pb,Ca)TiO ₃ thin films with high Ca content <i>J. Mendiola, R. Jimenez, P. Ramos¹, C. Alemany, M.L. Calzada, E. Maurer</i>	445
Plastic relaxation inhibition in low temperature growth of InGaAs/GaAs(001) heterostructures <i>M. Herrera, D. González, M. U. González, Y. González, L. González, R. García</i>	376	Thin film growth of ionic conducting membranes by PIMOCVD. <i>G. Garcia, J. Caro, J. Santiso, J. Á. Pardo, A. Figueras, A. Abrutis</i>	448
Si oxidation processes by electron cyclotron resonance plasmas <i>E. San Andrés, A. del Prado, A. J. Blázquez, I. Martíl, G. González-Díaz</i>	379	Highly radiation resistant KU1 quartz glass <i>P. Martin, A. Moroño, E.R. Hodgson</i>	452
Catalitic gates for gas sensors based on SiC technology <i>O. Casals, M. Haffar, B. Barcones, A. Romano, C. Serre, A. Pérez, J.R. Morante, P. Godignon, J. Montserrat, J. Millán</i>	383	Anti-reflectius silica coatings on glass produced by sol-gel <i>A. Morales, M.C. Bautista, D. Cáceres</i>	455
Hydrogenated polycrystalline SiGe films and their application in Thin Film Transistors <i>A. Rodríguez, T. Rodríguez, J. Sangrador, E. San Andrés, I. Martíl</i>	386	Determination of the optical constants and thickness of holographic materials <i>A. Beléndez, M. Ortúñoz, S. Gallego, T. Beléndez, C. Neipp, I. Pascual</i>	457
Silicon nanocrystals embedded in silicates for photonic applications <i>R. Ferré, B. Garrido, P. Pellegrino, C. García, J.R. Morante</i>	390	New method for the geometrical and optical characterization of dielectric thin films with surface roughness <i>J.M. González-Leal, M. Stuchlik, C. Morant, J.M. Sanz, E. Márquez</i>	461
Statistical analysis of the mechanical behaviour of a thermoplastic matrix composite reinforced with glass fiber subjected to different damage sequence. <i>M. A. García, A. Argüelles, A. Fernández Canteli, L. Chacón, J. Viña</i>	394	Study of organic chromophores with non linear optical properties. <i>P. Acebal, S. Blaya, L. Carretero</i>	467
Protection study of aluminium matrix composites reinforced with SiC particulates coated with sol-gel active barriers <i>A. Ureña, J. Rams, M. D. Escalera, M. Campo</i>	397	Structure of Mo/CuInSe ₂ bilayers for thin film solar cells <i>C. Guillén, J. Herrero</i>	470
Manufacturing and compressive behavior of a polymeric material loaded with ceramic particles <i>A. Arias, R. Zaera, J. López-Puente, C. Navarro</i>	401	Diamond coating on Si ₃ N ₄ by hot filament and microwave plasma assisted CVD <i>A. Tallaire, F.J. Oliveira, A.J.S. Fernandes, F.M. Costa, M. Belmonte, R.F. Silva</i>	473
Influence of reinforcement grade and matrix composition on corrosion resistance in cast aluminium matrix composites (A3xx.x/SiC) on 80%HR <i>A. Pardo, M.C. Merino, S. Merino, M.D. López, M.D. Escalera, F. Viejo</i>	406	Influence of the heat-treatment on thickness and porosity of thin-films obtained by sol-gel route <i>A. Díaz-Parralejo, F. Guiberteau, R. Caruso</i>	477
Interaction between molten aluminium and copper and nickel coated carbon fibers in metal matrix composites <i>A. Ureña, J. Rams, M.D. Escalera, M. Sánchez</i>	409	Determination of gels molecular structure by computational calculations <i>M. A. Díaz-Díez, A. Macías-García, G. Silvero, R. Gordillo, R. Caruso</i>	480
Experimental test of structural adhesives subjected to dynamic loads while hardening <i>A. Recuero, J. P. Gutiérrez, C. López, A. de Diego</i>	413	Tribology of Cermet/NiCrBSi coatings sprayed by HVOF. <i>J.M. Guilemany, J. Nin, C. Lorenzana, J. M. Miguel, J.R. Miguel</i>	483
Development of Fe-based metal matrix composites <i>E. Gordo, A. Oliva, E.M. Ruiz-Navas, J.M. Torralba</i>	416	TiN deposition on cutting tools for industrial use <i>M.A. Auger, O. Sánchez, J.M. Albella</i>	488
Evaluation of the mechanical behavior of composite PEI – glass fiber subjected to thermal solicitations <i>L. Chacón, J. Viña, A. Argüelles, R. Zenasni, I. Viña</i>	420	Effect of argon on the deposition of ECR-CVD hydrogenated carbon nitride films <i>M. Camero, R. Gago, C. Gómez-Aleixandre, J. M Albella</i>	491
Effect of hydrothermal aging on the interlaminar fracture behaviour of thermoplastic matrix composite materials <i>R. Zenasni, A.S. Bachir, M.A. García, J. Riba, A. Argüelles, J. Viña</i>	423	Study of mechanical and tribological properties of multilayered coatings with sub-micron spacing <i>R.J. Rodríguez, A. Medrano, M. Rico, B. Lerga, R. Martínez, R. Bueno, J. A. García</i>	494
Preparation of a new hybrid organic/inorganic material by cholina intercalation into molybdenum bronzes <i>P. Benito, F.M. Labajos, P. Moreno, W. Jones</i>	426	Interfacial stress field generate by a biperiodic hexagonal network of misfit dislocations in a thin bicristal InAs/(111)GaAs <i>T. Outtas, S. Madani, L. Adami, R. Bonnet</i>	497
Hybrid materials based on vanadyl phosphate and conducting polymers as cathodes in rechargeable lithium batteries. <i>A.K. Cuentas-Gallegos, R. Vijayaraghavan, M. Lira-Cantú, N. Casañ-Pastor, P. Gómez-Romero</i>	429	Colloidal forming of coatings in the inner walls of a steel pipe <i>B. Ferrari, J. L. Rodríguez, E. Rojas, R. Moreno</i>	501
A6061/(Al ₂ O ₃) _n fracture behaviour <i>A. Forn, M^a T. Baile, E. Rupérez, E. Martín, A. Rapoport</i>	434	Development of interference filters for porous silicon based photoluminescent devices <i>V. Torres, R.J. Martín, S. Manotas, F. Agulló, J. M. Duart</i>	506
Degradation of the transverse and shear elastic modulii of continuous carbon fibre composite materials under fatigue <i>D. Revuelta, A. Recuero</i>	438	Evolution of the morphology and faceting of SnO ₂ nanostructures deposited by spray pyrolysis on glass substrate. <i>E. Rossinyol, J. Arbiol, F. Peiró, A. Cornet, J. R. Morante, V. Brinzari, G. Korotcenkov, V. Golovanov</i>	510
Organobentonite as substitute of carbon black in rubber compounds <i>M. A. López Manchado, M. Arroyo, B. Herrero, R. Vicente</i>	514	Organobentonite as substitute of carbon black in rubber compounds <i>M. A. López Manchado, M. Arroyo, B. Herrero, R. Vicente</i>	514
Morphology of the superficial oxides in conventional and nanocrystalline NiCrAlY coatings exposed to elevated temperature <i>J.A. Picas, A. Forn, L. Ajdelsztajn, J. Schoenung</i>	518	Morphology of the superficial oxides in conventional and nanocrystalline NiCrAlY coatings exposed to elevated temperature <i>J.A. Picas, A. Forn, L. Ajdelsztajn, J. Schoenung</i>	518

High temperature creep of nanometric YTZP polycrystals with different glassy phase contents <i>C. Lorenzo-Martín, D. Gómez-García, A. Muñoz-Bernabé, A. Domínguez-Rodríguez</i>	521	Ca modified PbTiO ₃ : from the bulk ceramic to the film <i>J. Mendiola, C. Alemany, R. Jiménez, E. Maurer, M.L. Calzada</i>	620
Induced changes in single wall carbon nanotubes for purification treatments <i>M.T. Martínez, M.A. Callejas, A.M. Benito, M. Cochet, T. Seeger, A. Ansón, J. Schreiber, C. Gordon, C. Marhic, O. Chauvet, W.K. Maser</i>	524	Magnetoresistive ceramics. Recent progress: from basic understanding to applications <i>J. Fontcuberta, Ll. Balcells, J. Navarro, D. Rubí, B. Martínez, C. Frontera, M. Lacaba, A.M. González, C. Forniés, A. Calleja, LL. Aragón</i>	627
Synthesis and Characterization of Composites based on TPOs Reinforced with Carbon Nanotubes <i>J. Biagiotti, L. Valentini, J.M. Kenny, M.A. López Manchado, M. Arroyo</i>	527	New Generation of LTCC Materials <i>Mitja Valant, Danilo Suvorov</i>	634
Magnetization reversal process in bistable microwires and its temperature dependence <i>M. Vázquez, A.P. Zhukov, K.L. García, K.R. Piota, R. Varga, J.L. Martínez</i>	532	Mixed conducting materials for partial oxidation of hydrocarbons <i>J.R. Frade, V.V. Kharton, A.A. Yaremchenko, E.V. Tsipis, A.L. Shaula, E.N. Naumovich, A.V. Kovalevsky, F.M.B. Marques</i>	640
Electric conductivity of Aurivillius ceramic materials of composition Pb _x Bi ₄ Ti _{3+x} O _{12+3x} , x=0,1,2 y 3. <i>L. Lascano, A.C. Caballero, M. Villegas, C. Moure, J.F. Fernández</i>	536	Photoluminescence of the PbTiO ₃ in amorphous state analyzed by methods ab-initio periodic <i>S.R. de Lazar, E.R. Leite, E. Longo, A. Beltrán</i>	644
Temperature dependence of the electrical, mechanical and electromechanical properties of high sensitivity novel piezoceramics <i>M. Algueró, B. Jiménez, C. Alemany, L. Pardo</i>	540	Dielectric characterization of the La _{1.5} Sr _{0.5} CoO ₄ layered perovskite <i>M.P. Gutiérrez, B. Rivas-murias, M.A. Señaris-rodríguez, J. Rivas</i>	649
Improvement of the thermo-mechanical properties of isotropic graphite, produced from carbonaceous mesophase, by the addition of different carbides <i>N. Ordás, J. Echeberria, M. Balden, S. Lindig, C. García-Rosales</i>	543	Study of k and LiNbO ₃ addition on the final properties of the relaxor PMN processed by powder blend <i>A.A. Cavalheiro, M.A. Zaghe, M. Cilense, M. Villegas, J.F. Fernández, J.A. Varela</i>	653
Carbonaceous materials from recycled PET <i>J.B. Parra, C.O. Ania, A. Arenillas, F. Rubiera, J.M. Palacios, J.J. Pis</i>	547	Relation between dielectric and mechanical nonlinear behaviours in PZT piezoelectric ceramics. <i>R. Pérez, A. Albareda, J.E. García, J.A. Casals</i>	658
Isotropic graphyte produced from coke to automotive applications <i>J. Oñoro, F.J. Mielgo, C. Ranninger, J. Casanova</i>	550	Magnetic properties of (Co, Ni, Mn) ₃ O ₄ spinels <i>Yanwei Ma, M. Bahout, O. Peña, P. Durán, C. Moure</i>	663
Toughness evaluation of shotcrete reinforced with high modulus polymeric fibers <i>T. García, L. Agulló, A. Aguado, G. Canals</i>	552	Ceramic Piezoelectric Sensors: Application to Biomecanic Characterization <i>J.C. Moreno, J.F. Fernández, P. Ochoa, R. Ceres, L. Calderón, E. Rocon, J.L. Pons</i>	668
Verification of the rheological properties of self-compacting concrete <i>E. Gallo, D. Revuelta</i>	556	Application of broadband admittance spectroscopy to microstructure control of the electrical properties of ceramic varistors. <i>Fernández Hevia, A.C. Caballero, J. de Frutos, J.F. Fernández</i>	674
Steel/concrete bond characterisation on reinforced concrete structures <i>M. Molina, J.P. Gutiérrez, M.D. García</i>	560	Synthesis and characterization of sodium cation-conducting Na _x (M _y ⁺) _{1-y} O ₂ (M = Ni ²⁺ , Fe ³⁺ ; L = Ti ⁴⁺ , Sb ⁵⁺) <i>O.A. Smirnova, V.V. Kharton, F.M.B. Marques</i>	679
Effect of the application of electrical fields on the interactions between the chloride ions and the cementitious matrix <i>M. Castellote, C. Andrade, C. Alonso</i>	565	Oxygen adsorption in Pd-doped SnO ₂ thick films <i>M.A. Ponce, C.M. Aldao, M.S. Castro</i>	686
Study and obtimizing of the reaction parametres for geopolymeric material manufacture <i>I. Beleña, M.J.L. Tendero, E.M. Tamayo, D. Vie</i>	569	Study of the compensation mechanism of La ₂ O ₃ -doped BaTiO ₃ <i>M. Ramajo, E. Brzozowski, M.S. Castro</i>	691
Influence of HIP treatment in the evolution of Co-Cr-Mo prothesis carbides <i>V. Amigó, A. Vicente, F. Romero, Y.A. Paolini</i>	573	Quadrupole interactions in SrZrO ₃ <i>A. López-García, R.E. Alonso</i>	695
Characterization of the brickwork from palace "Infante Don Luis", Boadilla del Monte, Madrid. <i>R. Fort, M. Alvarez de Buergo, M.C. López de Azcona, F. Mingaró, M.J. Varas, J. Soriano</i>	578	Modelling of the travelling wave piezoelectric motor stator: an integrated review and new perspective <i>H. Rodriguez, R. Ceres, L. Calderon, J.L. Pons</i>	698
Evaluation of long-term behaviour of concretes in high level waste repositories. An accelerated leaching test. <i>A. Hidalgo, L. Fernandez, S. Petit, C. Andrade, C. Alonso</i>	584	Spin reversal in Gd(Me,Mn)O ₃ (Me = Co, Ni) <i>O. Peña, K. Ghani, C. Moure, D. Gutiérrez, P. Durán</i>	706
Strengths and weaknesses of life cycle inventories (LCI) of cement for its use in life assesments (LCA) <i>A. Aguado, A. Josa, A. Cardim</i>	587	Bol. Soc. Esp. Ceram. V., 43 [4] (2004)	
Materials thermal treatment at plataforma solar de almería solar furnace: Current Activity Lines <i>I. Cañadas, D. Martínez, J. Rodríguez</i>	591	Comparison between mechanical displacement electroceramic systems: Piezoelectric motors and actuators <i>D. Mesonero-Romanos, J.F. Fernández, M. Villegas, R. Ceres, E. Rocon, J.L. Pons</i>	725
Bol. Soc. Esp. Ceram. V., 43 [3] (2004)		Magnetic properties of manganese-site substituted Y(Cu,Mn)O ₃ <i>O. Peña, D. Gutiérrez, P. Durán, C. Moure</i>	732
Influence of some variables of the sol-gel process in the textural and structural properties of a NiAl ₂ O ₄ support <i>A. Almanza, J.S. Valencia</i>	613	Influence of the cation substitution on the magnetic properties of LiCo ₂ O ₄ and Li(Me,Co) ₂ O ₄ spinels <i>O. Peña, V. Bodenez, T. Guizouarn, E. Meza, J.L. Gautier</i>	736
Comparative study of two synthesis methods to obtain ZnO-Pr ₂ O ₃ .. CoO ceramic powders <i>H. Ávila, A.M. Cruz, M. Villegas, A.C. Caballero, J.E. Rodríguez-Páez</i>	740		

Study at the Bi_2O_3 -rich region of the $\text{ZnO}-\text{Bi}_2\text{O}_3$ system <i>M. A. de la Rubia, M. Peiteado, J. F. Fernández, A. C. Caballero</i>745	Nonlinear dielectric response in ferroelectric thin films <i>M.H.Lente, A.L.Bacichetti, R. G. Mendes, J.A. Eiras</i>815
Synthesis and characterization of quasi-bidimensional cobalt oxides $\text{Ln}_{1-x}\text{Sr}_x\text{CoO}_4$ ($\text{Ln}=\text{La, Nd y Gd}$) <i>M. Sánchez-Andújar, S. Yáñez, A. Castro, S. Castro-García, M. A. Señaris-Rodríguez</i>748	Bol. Soc. Esp. Ceram. V., 43 [5] (2004)
Microstructure and mechanical properties of high temperature protonic conductors fabricated by melt growth <i>M.J. López Robledo, A.R. Pinto Gómez, J. Martínez Fernández, A.R. de Arellano López, A. Sayir</i>753	Ceramic membranes. Types, preparation methods and characterization <i>J.M. Benito, A. Conesa, M.A. Rodríguez</i>829
Oxygen mobility in $\text{A}_2\text{Ti}_{2y}\text{Zr}_x\text{O}_7$ ($\text{A}: \text{Y, Gd}$) ionic conductors <i>K. J. Moreno, G. Mendoza-Suárez, A. F. Fuentes, J. García-Barriocanal, C. León, J. Santamaría</i>759	Shaping of ceramic parts from powder loaded wax suspensions <i>J.J. Coronel, R. Janssen, N. Claussen</i>843
Optimization of a new method to prepare perovskite type mixed oxides with oxygen vacancies <i>L. Mestres, M. L. Martínez-Sarrión, F. J. Lepe</i>764	Study and characterization of pyroxene-based glass-ceramic glazes. <i>F. Lucas, A. Belda, F.J. Torres, J. Alarcón</i>849
Permeabilidad de oxígeno en membranas cerámicas de $\text{La}(\text{Sr},\text{Pr})\text{Ga}(\text{Mg})\text{O}_{3-\delta}$ con metales de transición. <i>A.A. Yaremchenko, A.L.Shaula, V.V.Kharton, A.V.Kovalevsky, E.N.Naumovich, J.R.Frade, F.M.B.Marques</i>769	Laser-assisted surface melting of Al_2O_3 -YSZ eutectic ceramics <i>R.I. Merino, J.I. Peña, V.M. Orera, Á. Larrea, A.J. Sánchez-Herencia</i>855
Restrictions to obtain NASICON by a ceramic route <i>R.O. Fuentes, D.G. Lamas, M.E. Fernandez de Rapp, F.M. Figueiredo, J.R. Frade, F.M.B. Marques, J.I. Franco</i>775	Use of bioactive systems in the bonelike apatite formation on cobalt base alloys <i>D.A. Cortés, A. Medina, J.C. Escobedo, S. Escobedo, M.A. López</i>863
Influence of the synthesis and doping on the morphologic, structural and electrochemical properties of $\text{LiCo}_{1-x}\text{M}_x\text{O}_2$ ($\text{M}=\text{Ni, Al, Mg}$) oxides <i>S. Castro-García, M. A. Señaris-Rodríguez, A. Castro-Couceiro, C. Julien</i>780	Synthesis and Sintering of Lanthanum Chromite Solid Solutions Prepared by the Alkaline Coprecipitation Method. <i>J.C. Rendón-Ángeles, L.M. Valadez-Farias, J.L. Rodríguez-Galicia, J. Méndez-Nonell, J. López-Cuevas</i>869
Characterisation of Y-PSZ and PR-doped Y-PSZ obtained by unconventional methods for softc applications <i>J.A. Badenes, P. Benet, S. Sorli, M.A. Tena, G. Monrós</i>787	Ionoluminescence of silicates for ceramic uses at cryogenic temperatures <i>J. Garcia-Guinea, D. Hole, A. Finch, V. Correcher, F.J. Valle-Fuentes, N. Can, P. D. Townsend</i>877
Electrical characterization of $(\text{Cr,V,Ti})\text{O}_2$ solid solutions with rutile-type structure <i>S. Sorlí, M. Llusrà, J. Calbo, P. Benet, J. A. Badenes, M. A. Tena, G. Monrós</i>792	FT-IR spectroscopy study of the reaction of obtention of hybrid materials <i>L. Téllez, F. Rubio, R. Peña-Alonso, J. Rubio</i>883
Acicular iron nanoparticles protected against sintering with aluminium oxide <i>R. Pozas, M. P. Morales, C. J. Serna, M. Ocaña</i>796	Bol. Soc. Esp. Ceram. V., 43 [6] (2004)
Kinetics of formation of Al_2O_3 on aluminum thin films studied by electrical measurements <i>T. E. Novelo, O. Ceh, M. A. Pech-Canul, A. I. Oliva</i>801	Interferences in ceramic waste characterisation by the luminescence inhibition assay <i>M.F. Gazulla, M.P. Gómez, E. Monfort, M. Orduña</i>909
Microstructural evolution of copper thin films by applied electrical current flow <i>P. Quintana, A. I. Oliva, F. Alonso, J. E. Corona, W. Cauich</i>805	Determination of the pyroelectric coefficient of the $\text{Pb}_{0.88}\text{Ln}_{0.08}\text{Ti}_{0.98}\text{Mn}_{0.02}\text{O}_3$ ($\text{Ln}=\text{La, Sm, Eu}$) ferroelectric ceramic system and its application to infrared detectors. <i>R. González-Ballesteros, E. Suaste-Gómez</i>915
Study of the System $\text{Li}_2\text{SO}_4 - \text{Na}_2\text{SO}_4$, phase diagram and characterization of the LiNaSO_4 <i>J. Mata, X. Solans, M. Font-Bardia</i>810	Radioluminescence and thermoluminescence emission spectra of a leucite of Monte Somma (Italy) <i>V. Correcher, F.J. Valle-Fuentes, J. García-Guinea</i>919
	Laser remelting of plasma sprayed zirconia thermal barrier coatings <i>J. C. Diez, J. I. Peña, V. M. Orera, M. Sierra</i>925
	Operations strategy in spanish tile industry firms <i>B. Segura, E. Vallada, C. Maroto, R. Ruiz</i>929
	Influence of the starting materials and the experimental conditions on the carbothermal synthesis of silicon nitride <i>M.D.Alcalá, C.Real, J.M.Criad</i>933